

The background of the slide features a 3D visualization of a detector structure, likely the TOP detector. It consists of a complex arrangement of red lines and points, forming a large, elongated, and somewhat rectangular volume. A bright, multi-pointed starburst of light is visible at one end of the structure, suggesting a central interaction point or a source of radiation. The overall color scheme is dominated by red and orange against a dark background.

# Overview of TOP detector

K.Inami

# TOP detector

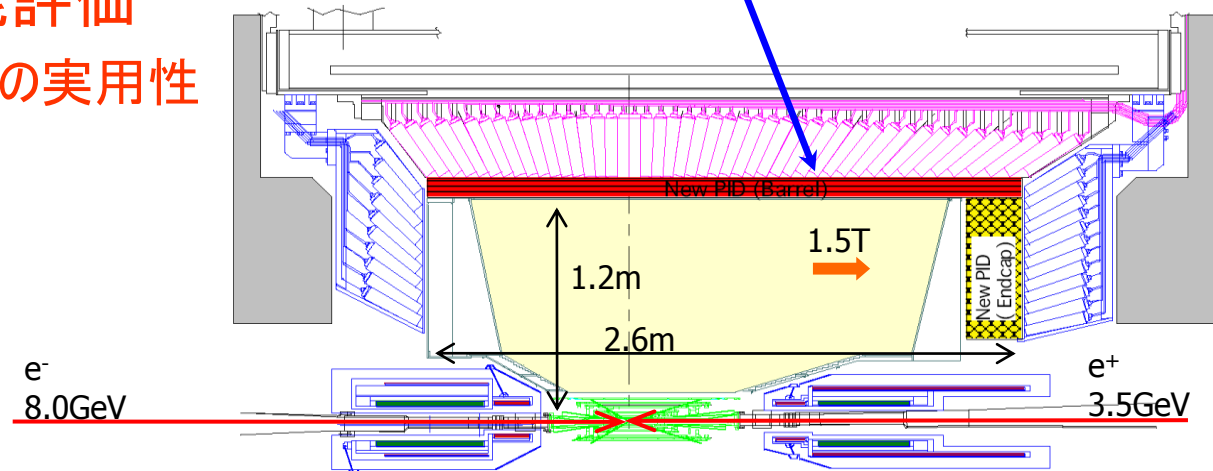
2

- TOP (Time Of Propagation) カウンター開発
  - 次世代Bファクトリー実験のための粒子識別装置
    - $L_{\text{peak}} \sim 8 \times 10^{35} / \text{cm}^2 / \text{s}$ , Bファクトリーと比べ、40倍の強度
  - K/ $\pi$ 識別効率の向上
    - Physics analysis, Flavor tag, Full reconstruction

- TOPカウンターの原理検証

- 実用化のための性能評価

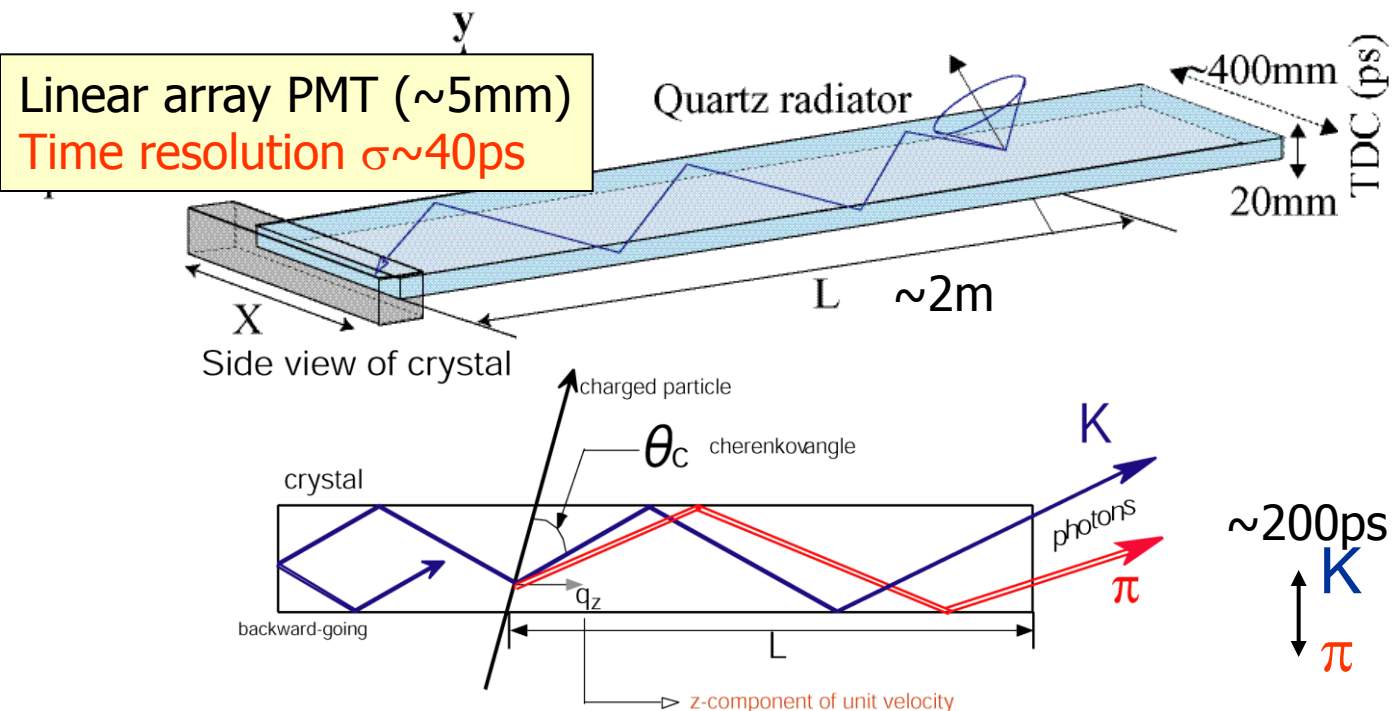
- 光検出器MCP-PMTの実用性
- 石英輻射体の性能



Side view of **Belle II** detector

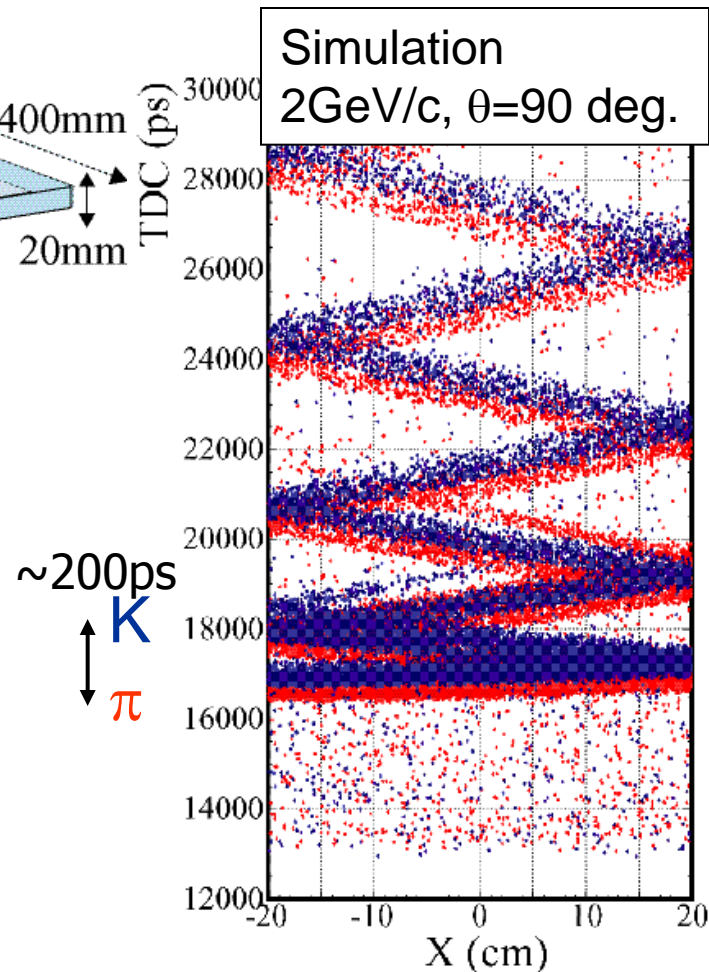
# TOPカウンター原理

- チェレンコフ光の到着位置+時間  
- コンパクト

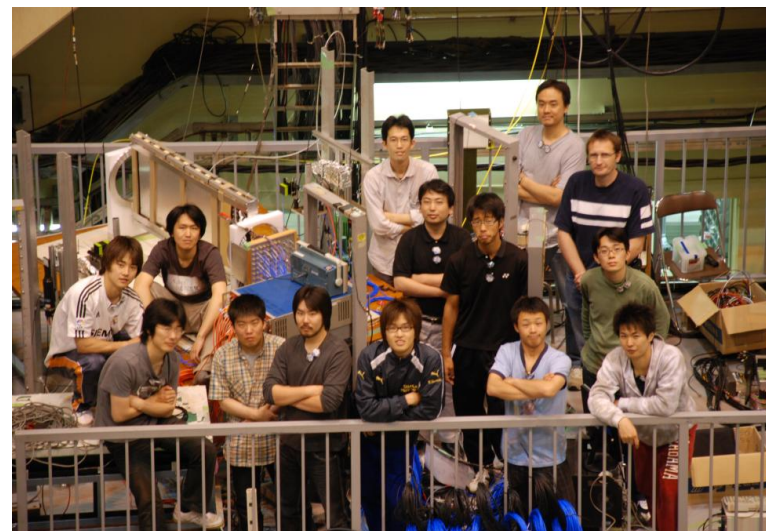


同じ運動量の粒子に対して異なる開き角  
→ 異なる伝播距離 (= 伝播時間)

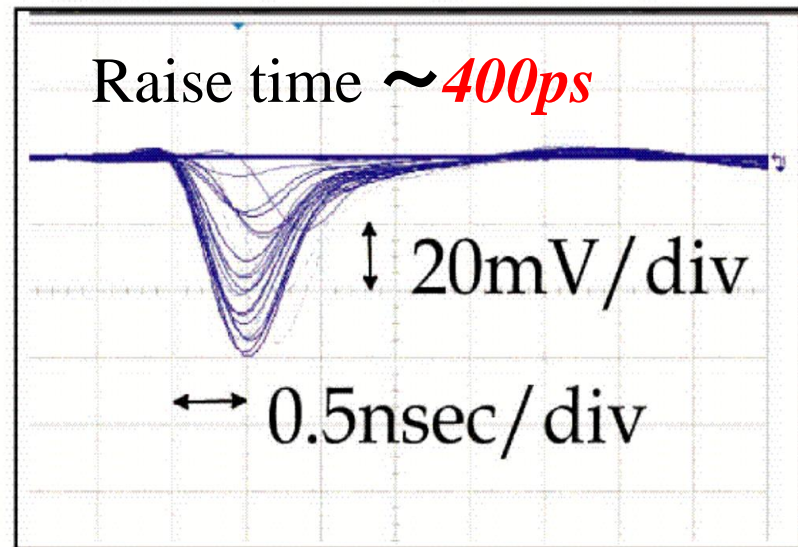
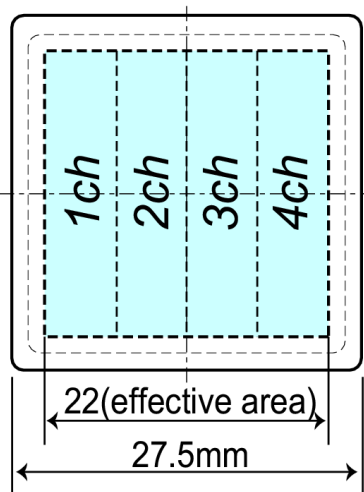
+ 衝突点からのTOFも加算的に識別に寄与



- **MCP-PMT**
  - 実用化に向けた寿命向上
    - 光電面の劣化メカニズムから対策案
  - 量子効率改良
    - GaAsP光電面
    - Super Bialkali光電面
- **プロトタイプ**
  - 大型石英＋MCP-PMT
  - ビームテスト
    - 色分散効果の検証(2008/6,12)
    - フォーカスマラーの動作検証(2010/11)
- 実用化に向けた開発
  - Belle-II搭載へ向けた形状最適化
  - 構造体開発
  - 放射線耐性

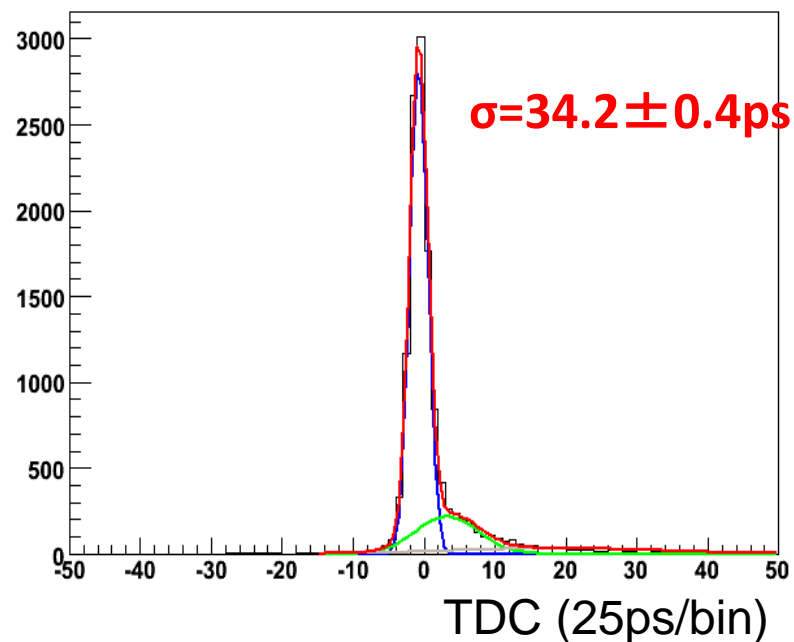


# 角型MCP-PMT



## R&D with Hamamatsu

- Large effective area 64%
- Position information 4ch (5mm pitch)
- Single photon detection
- Fast rise time:  $\sim 400ps$
- Gain:  $>1 \times 10^6$  at  $B=1.5T$
- T.T.S.(single photon):  $\sim 35ps$  at  $B=1.5T$
- Position resolution:  $<5mm$



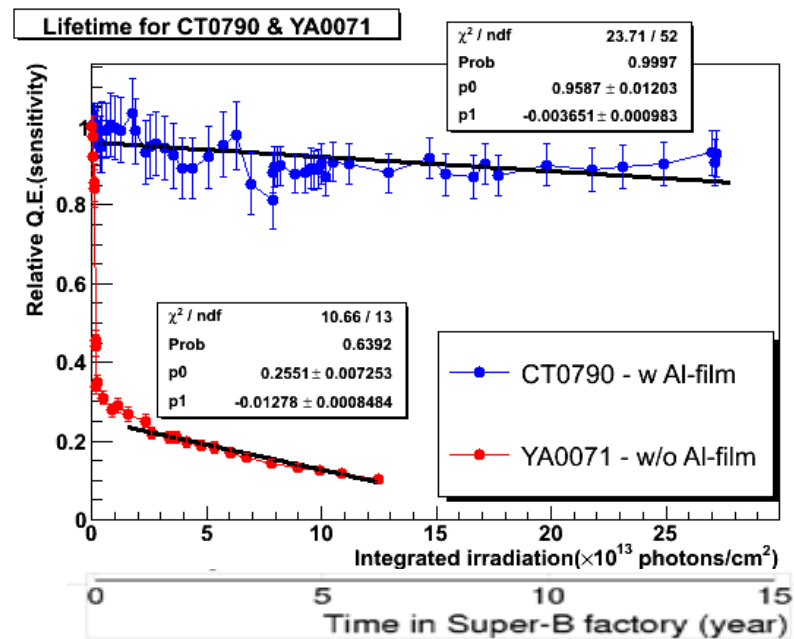
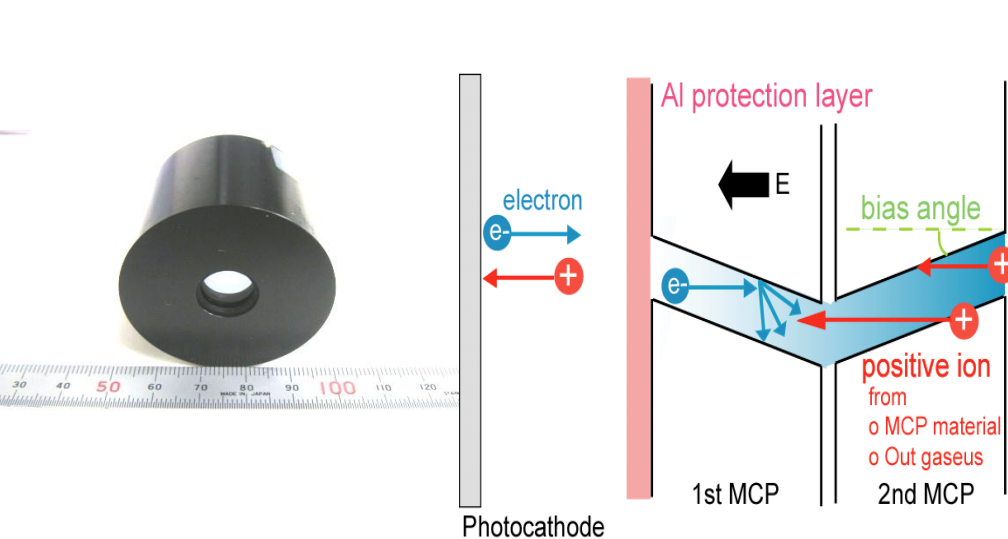
# MCP-PMT寿命

- 現在のBelle実験の20倍のバックグラウンド環境に耐えるPMTが必要

	Belle	Belle-II
Luminosity ( /cm <sup>2</sup> /s)	$1 \times 10^{34}$	$8 \times 10^{35}$
Num. of detected photons (/cm <sup>2</sup> /s)	3400	68000
Output charge (mC/cm <sup>2</sup> /year)	~6	~120

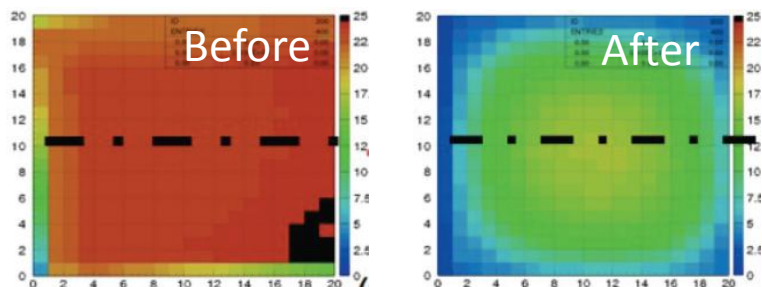
- 丸型MCP-PMT

- アルミ保護膜を導入することで、十分な寿命を達成



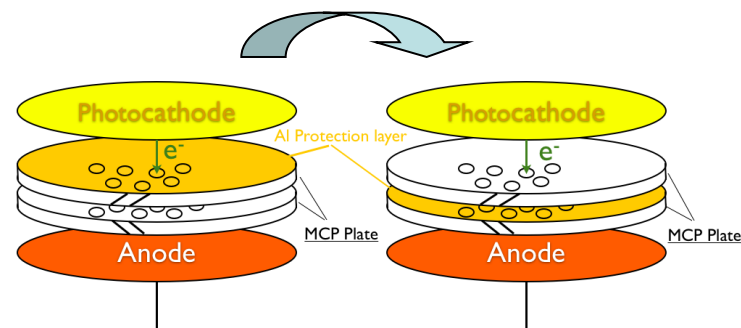
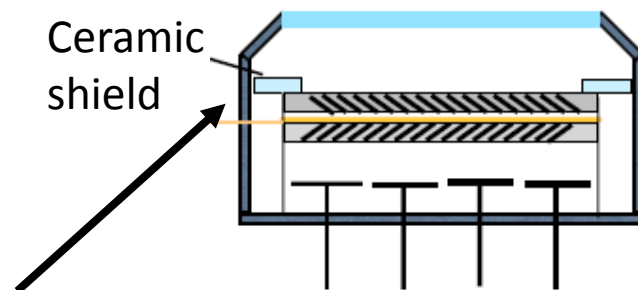
- 角型MCP-PMTの寿命測定

- アルミ保護膜があっても短寿命であることが判明
- 量子効率の面一様性から内部構造の違いについて考察
  - MCPと側管の間から中性ガスが光電面へ到達し得る



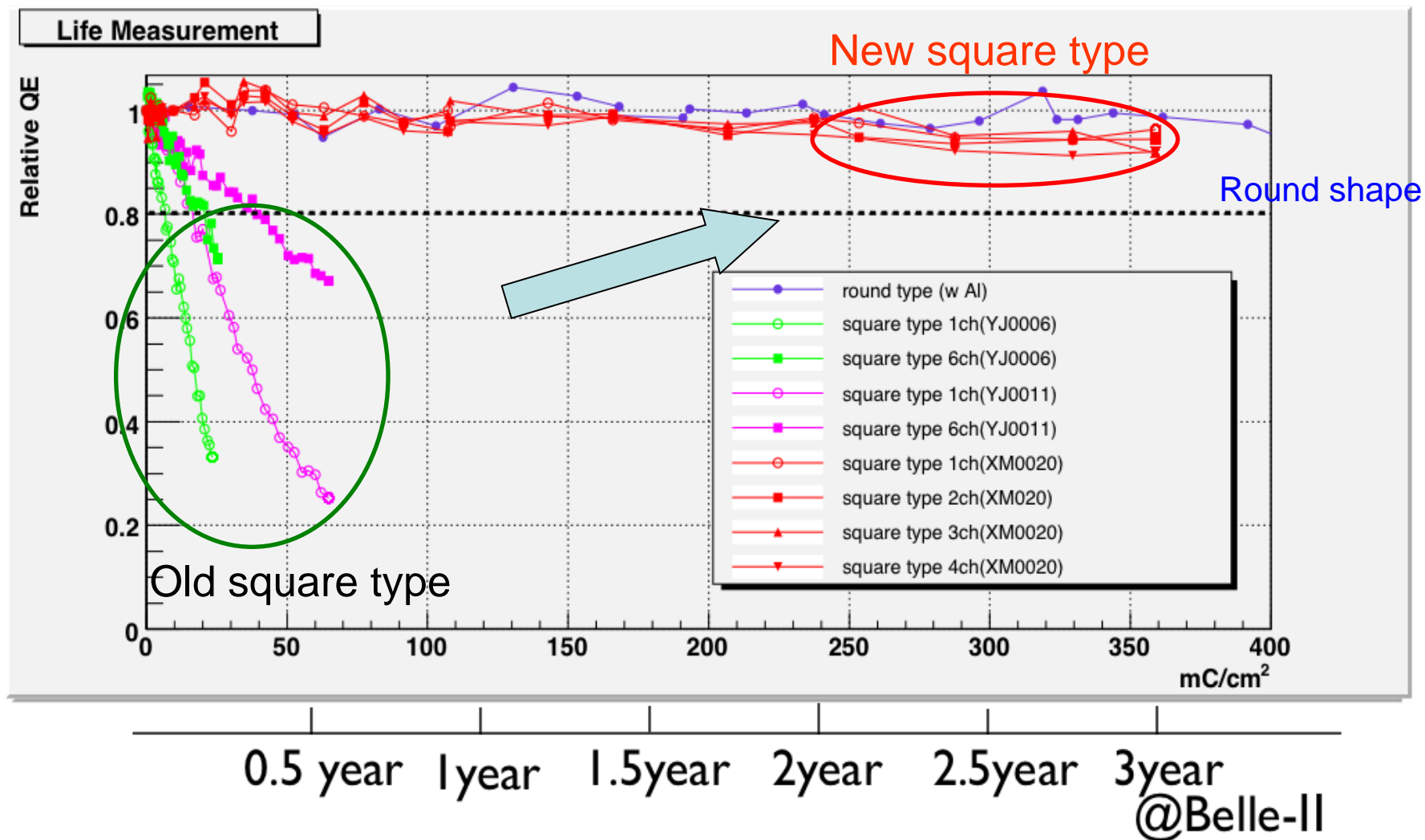
- 改良版MCP-PMTの試作

- セラミックシールドを導入し、中性ガスを遮断
- 中性ガスが発生しにくいMCPの処理
- アルミ保護膜をMCP2枚目へ導入
  - 収集効率の向上(35%→60%)



# MCP-PMT寿命結果

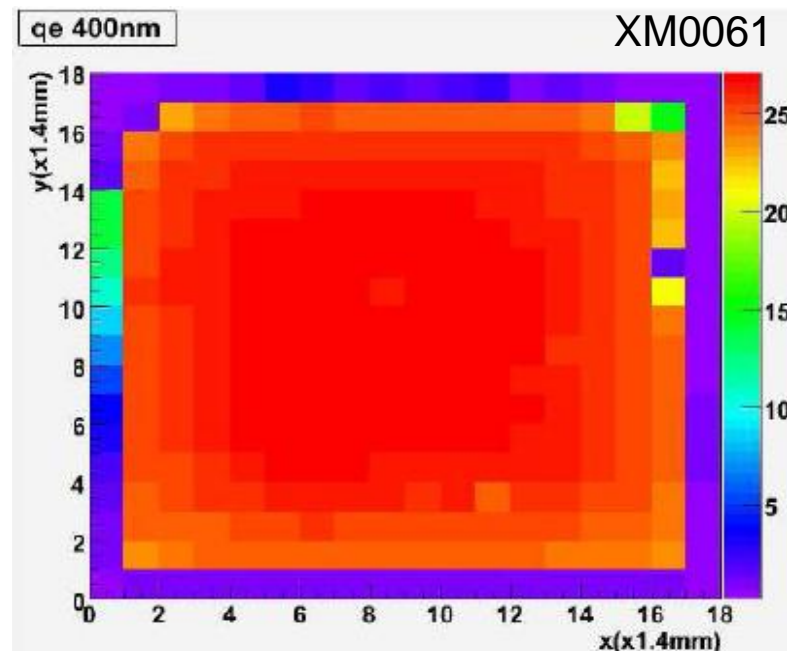
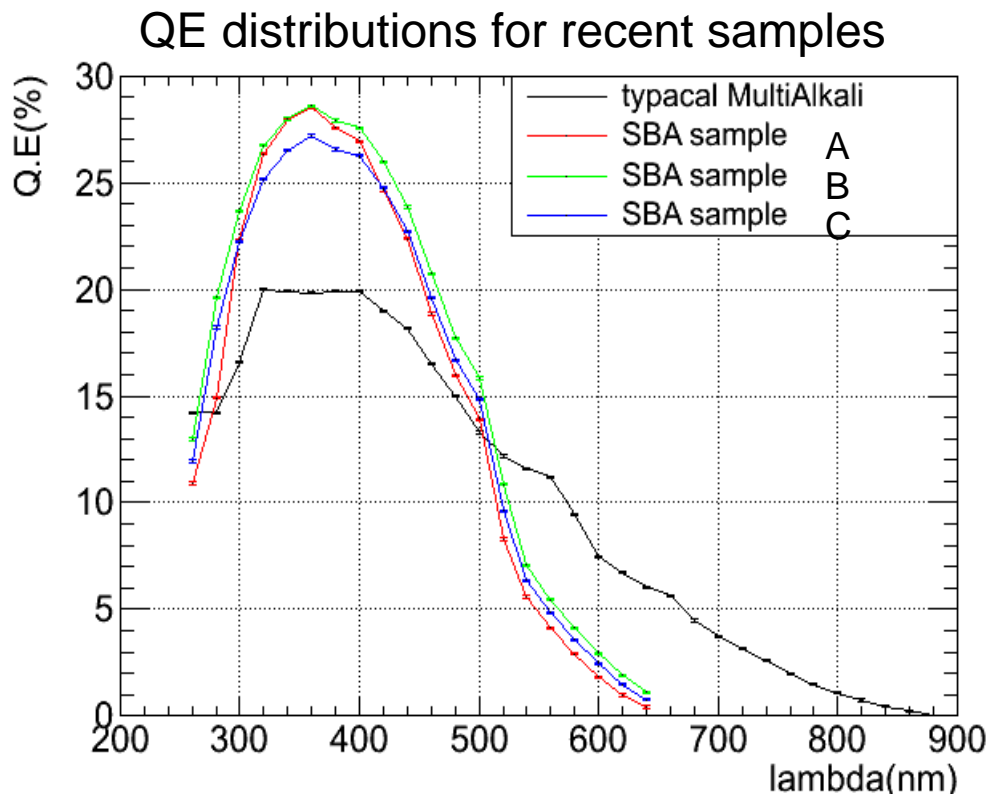
- 大幅に向上させることに成功し、十分な寿命を達成





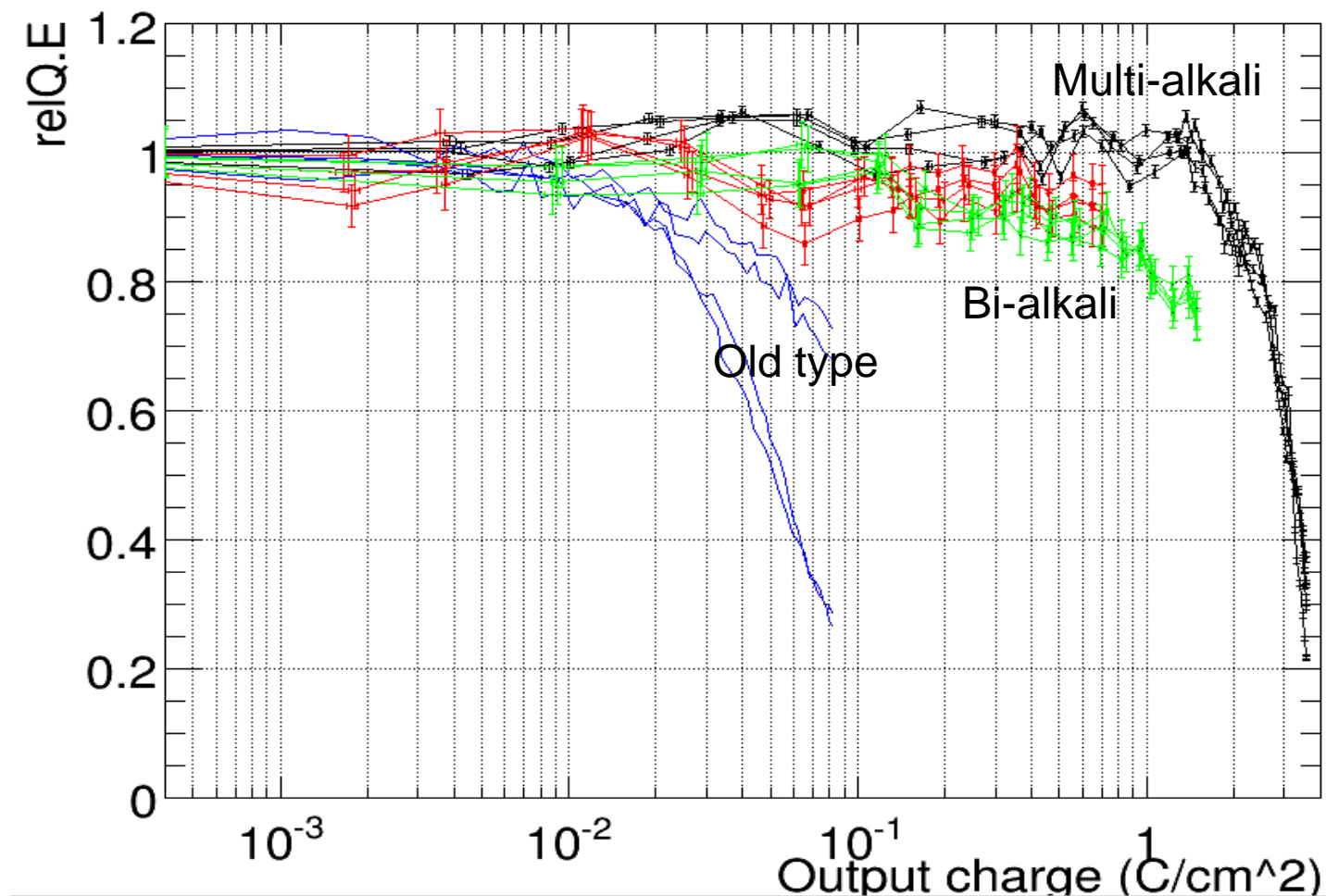
# 光電面の改良

- GaAsP光電面は歩留まりが向上せず、実用化が困難
- Super bialkali 光電面技術の適用
  - 検出光子数20%の向上が見込める



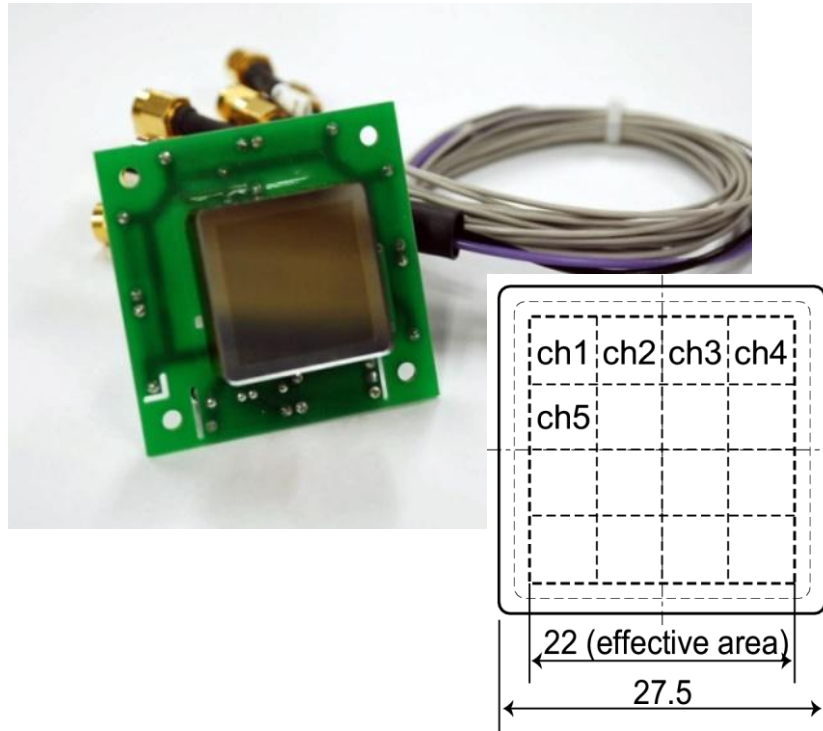
# MCP-PMT寿命結果

- 新しい光電面MCP-PMTにおいても1~2 C/cm<sup>2</sup>の寿命を達成



# 角型MCP-PMT for TOP

11



Size	27.5 x 27.5 x 14.8 mm
Effective area	22 x 22 mm(64%)
Photo cathode	Enhanced Multialkali
Q.E.	~28%( $\lambda=400\text{nm}$ )
MCP Channel diameter	10 $\mu\text{m}$
Number of MCP stage	2
Collection efficiency	~60%
Anode	4 x 4
Anode size (1ch)	5.3 x 5.3 mm
Anode gaps	0.3 mm

- High time resolution
- Large effective area
- Position information
- Sufficient lifetime

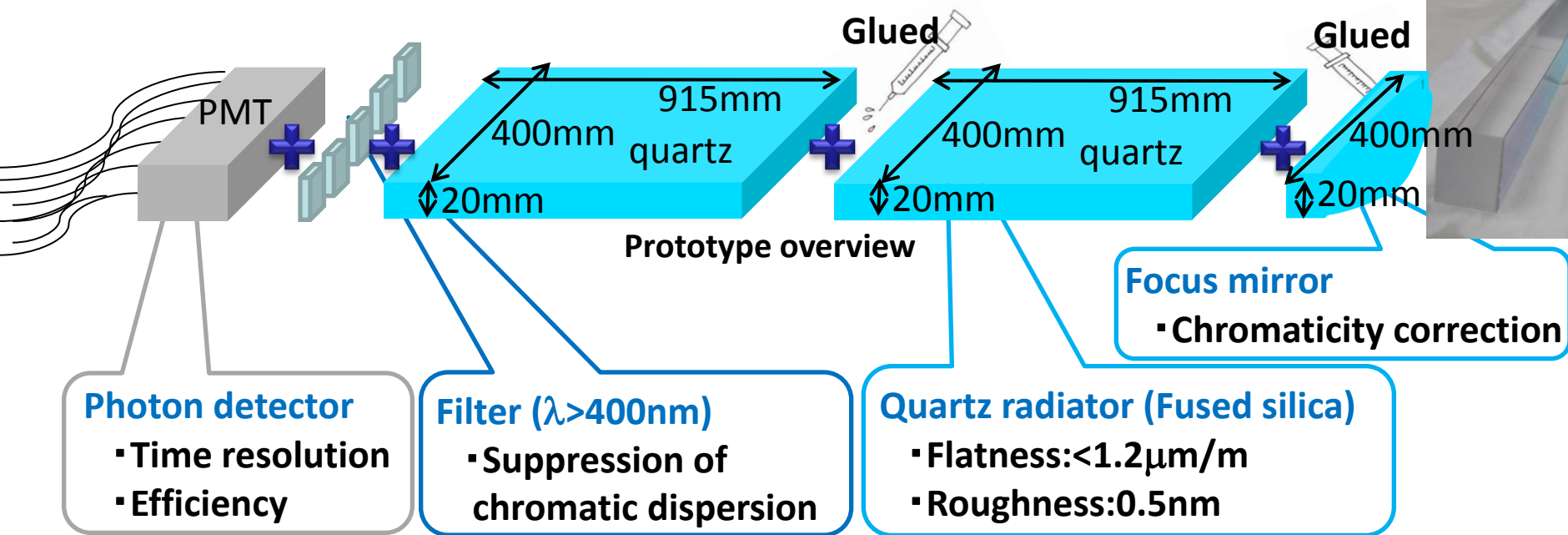
$\sigma < 40\text{ps}$

64% by square shape

4x4ch matrix anode (5mm pitch)

$> 1\text{C}/\text{cm}^2$

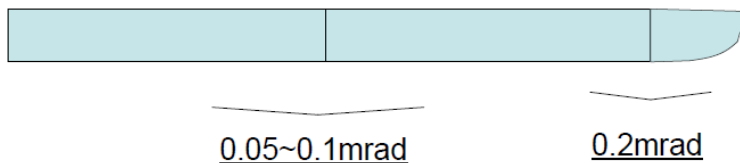
# プロトタイプ製作



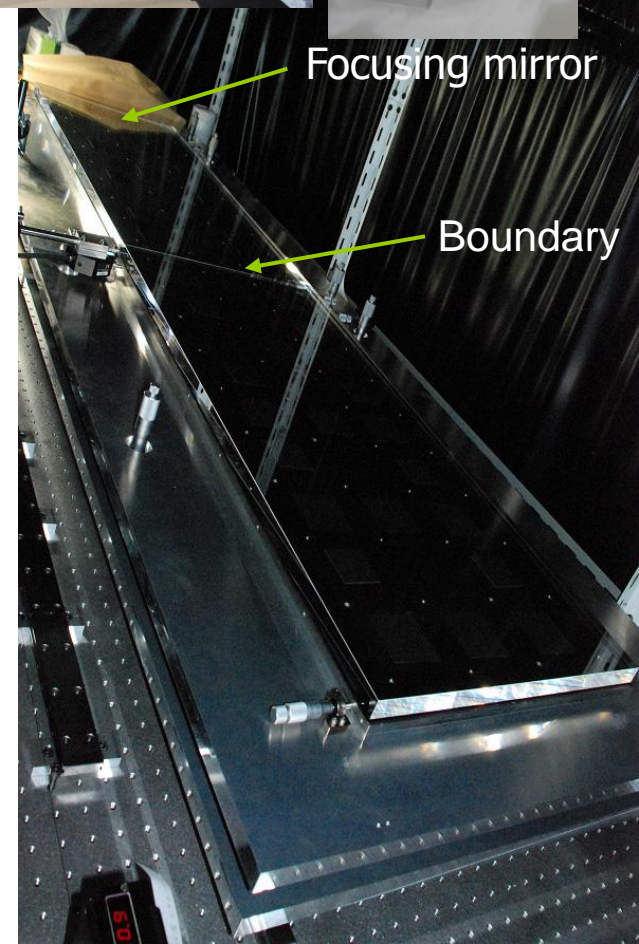
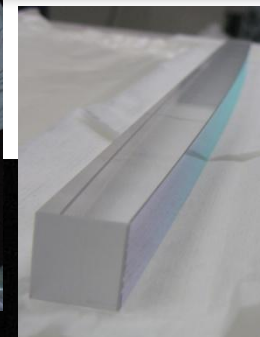
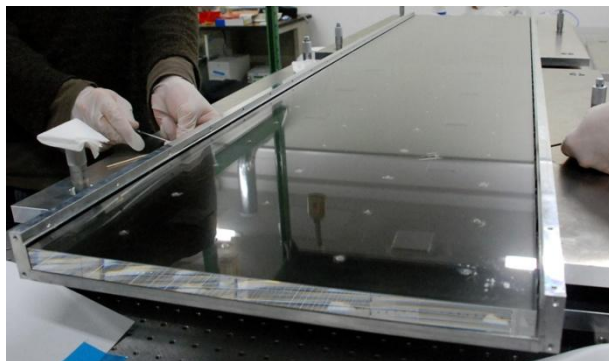
# 石英輻射体

13

- 高精度研磨石英板2枚
  - 91.5 x 40 x 2 cm<sup>3</sup>, 岡本光学
  - 平面性: <math><1.2\mu\text{m}/\text{m}</math>
  - 面粗度: <math><0.5\text{nm}</math>
- フォーカスマirror (R=5m)
- 接合
  - 平面度;  $\sim 0.2\text{mrad}$

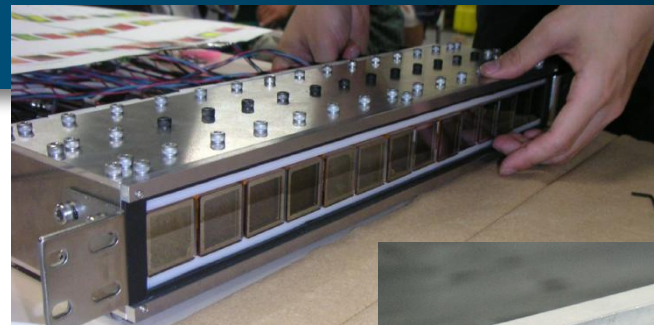


- アルミハニカム支持体を製作

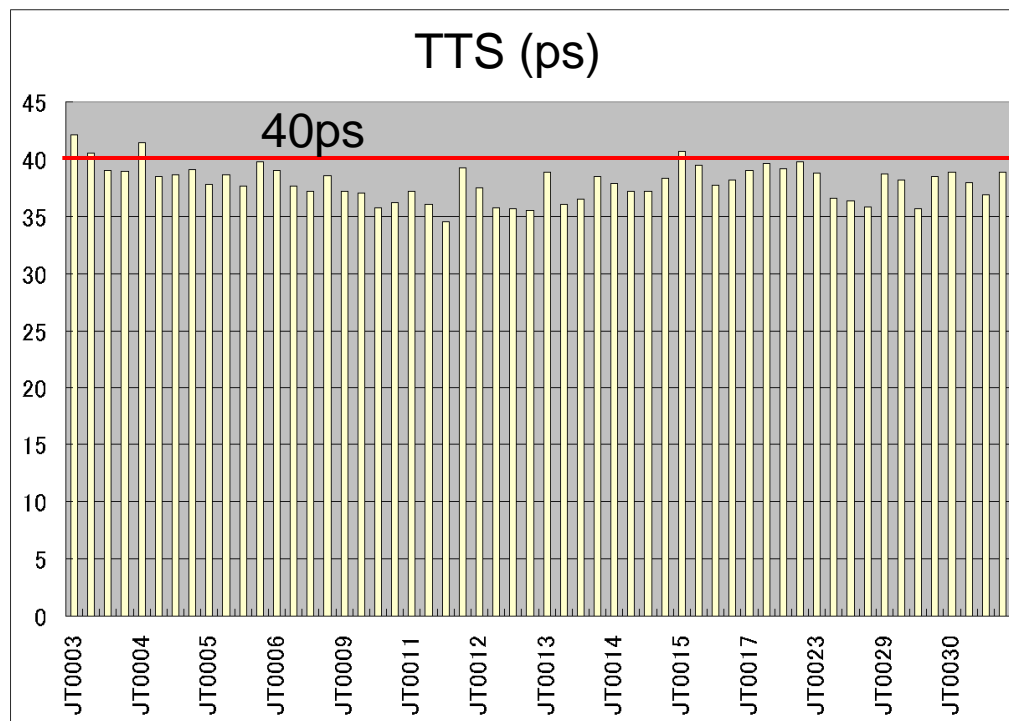
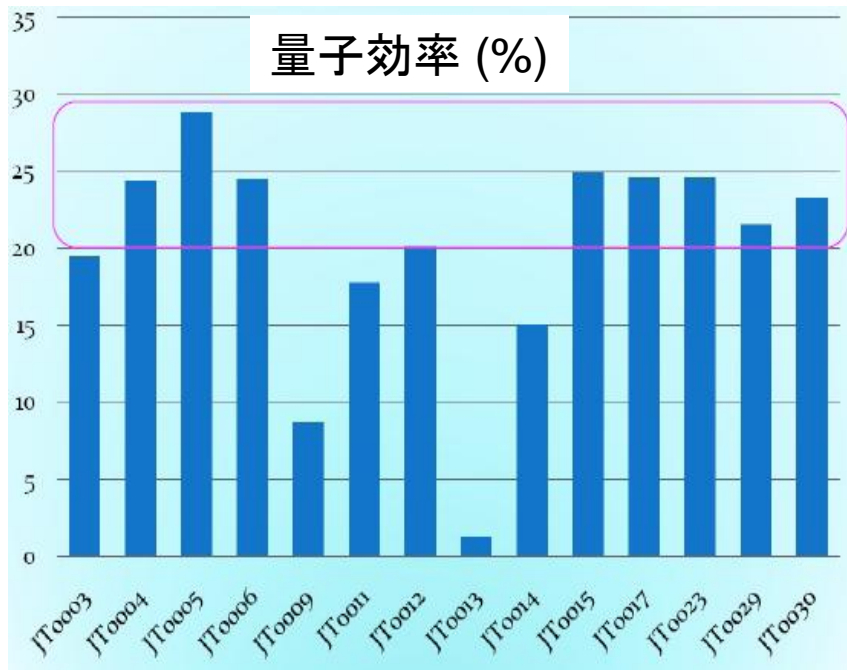
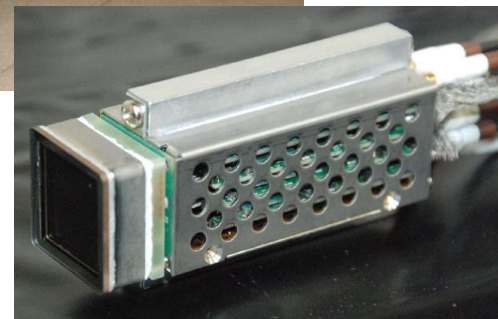


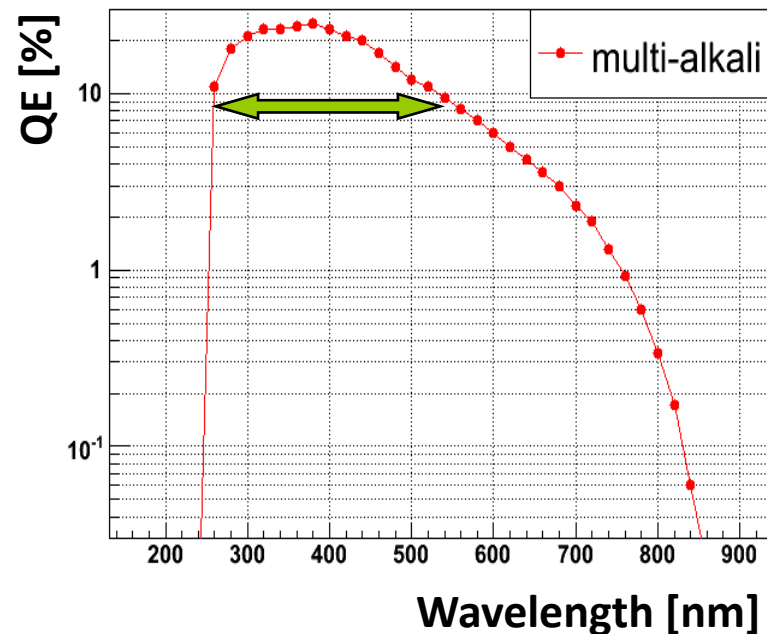
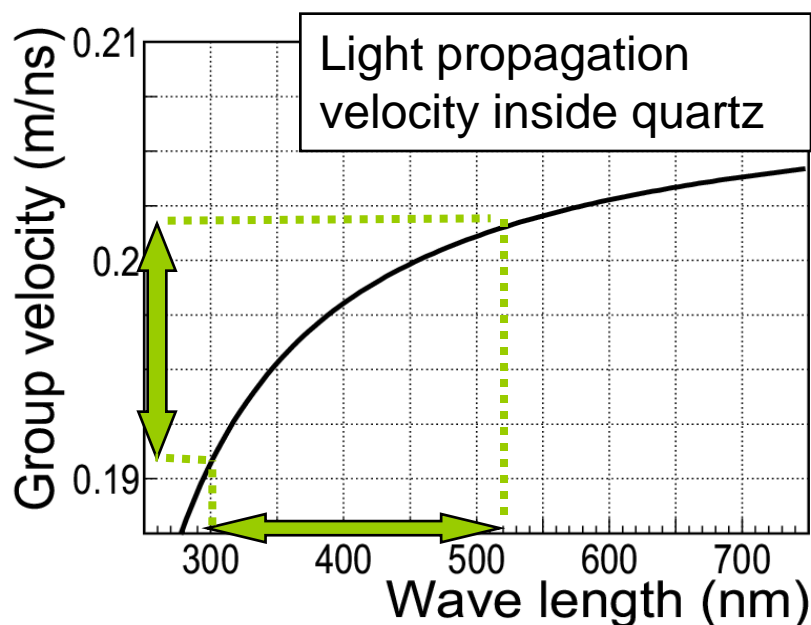
# 光検出器

- MCP-PMT 14個試作・検査
  - TOPプロトタイプ用
  - 製作での安定性を評価
  - TTS, Gainは安定的
  - 量子効率が開発の必要性有り



MCP-PMT出力に対応した  
読み出し回路の開発



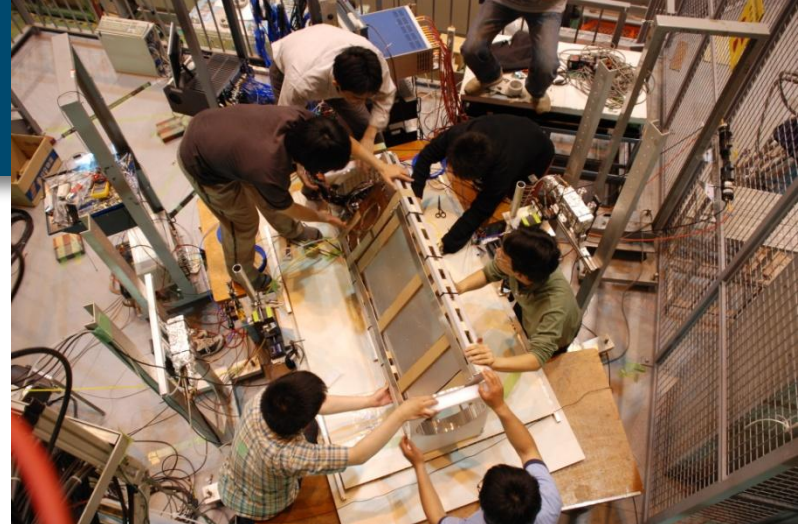
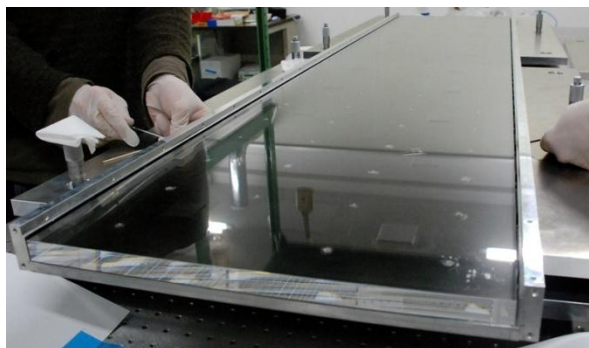


- 輻射体内での伝播速度依存性 + チェレンコフ光の検出波長範囲  
→ リングイメージの時間ふらつきを生み出す  
→ 伝播距離に依存した時間分解能の変化

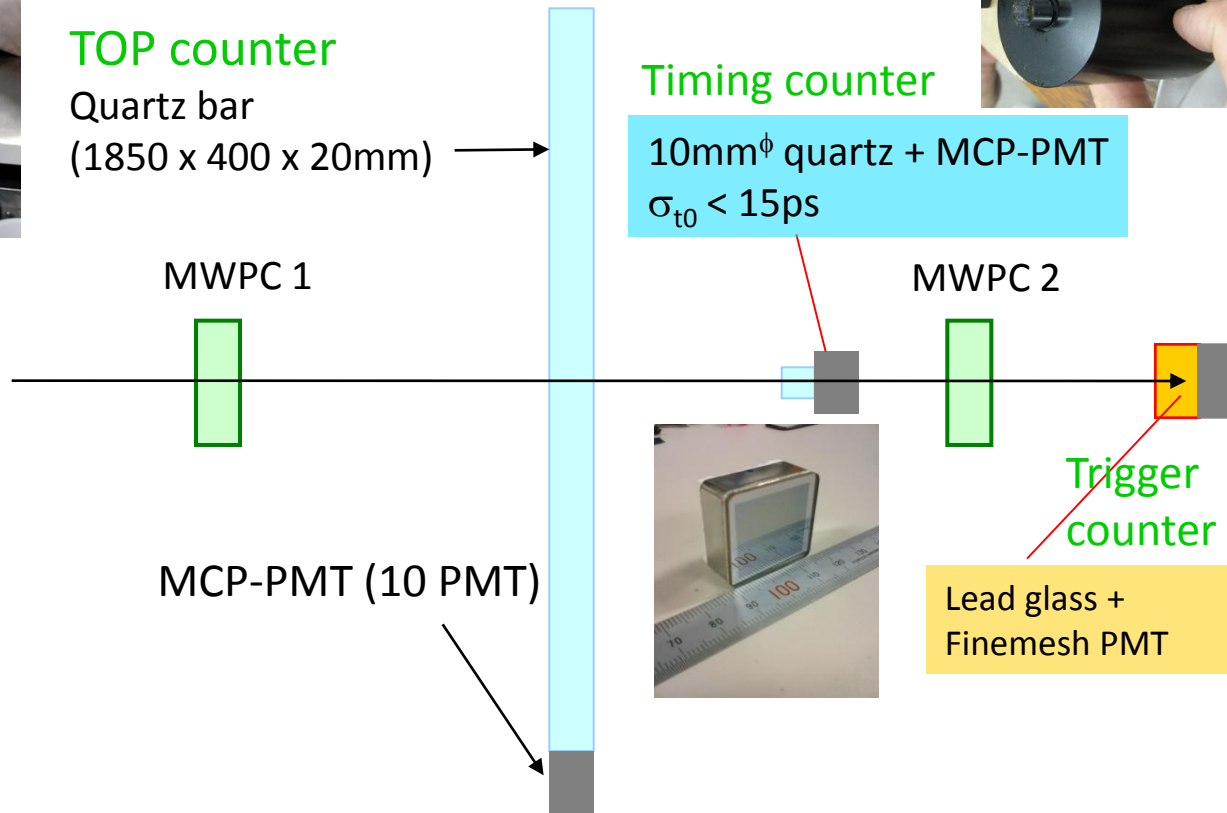
# ビームテスト(2008)

- KEK Fuji test beam line, 電子ビーム

Quartz + support jig

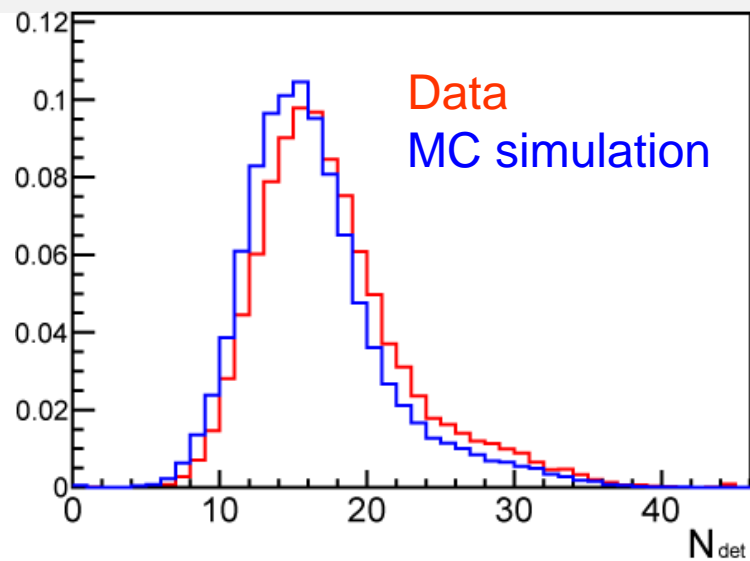
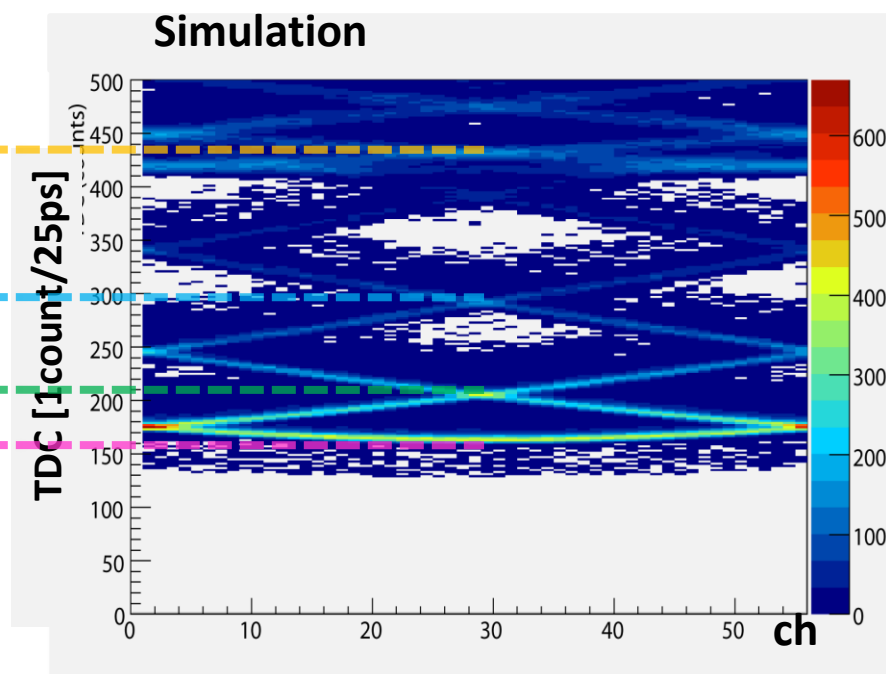
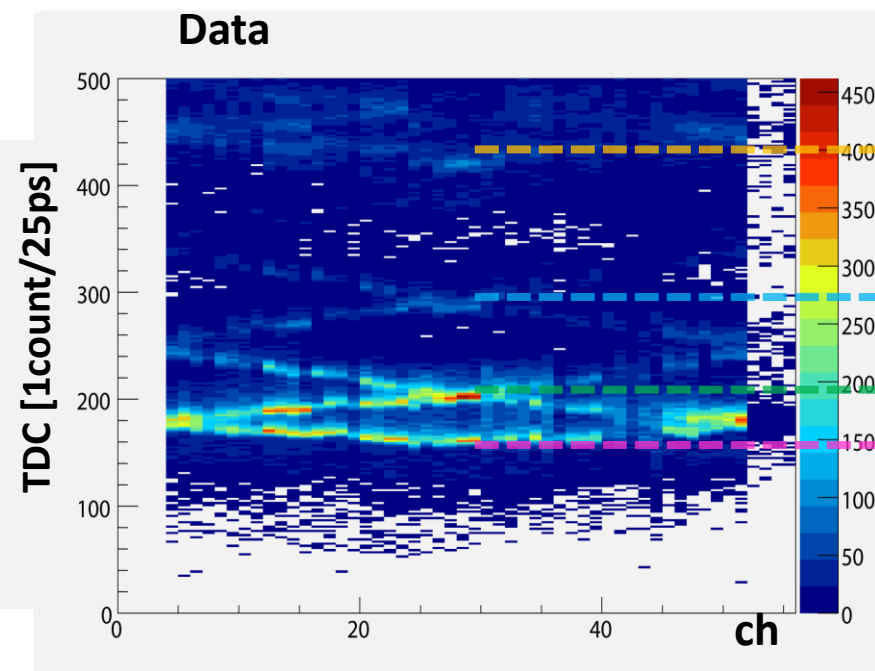


- 評価項目
  - リングイメージ
  - 検出光子数
  - 時間分解能

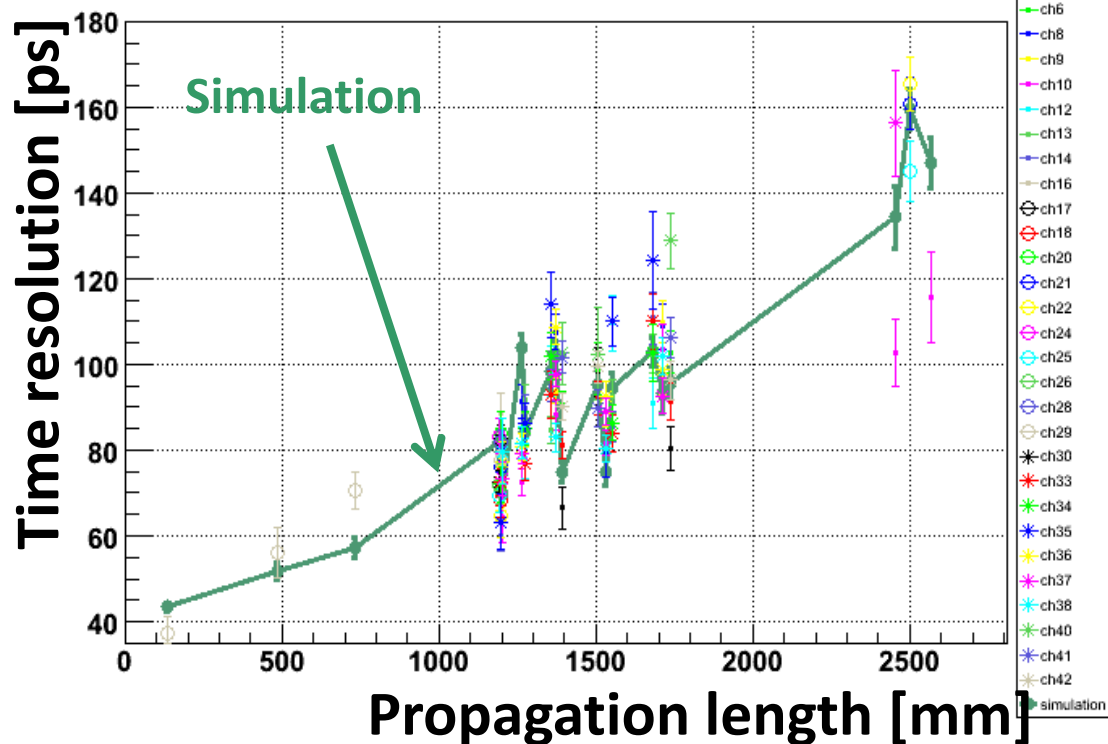
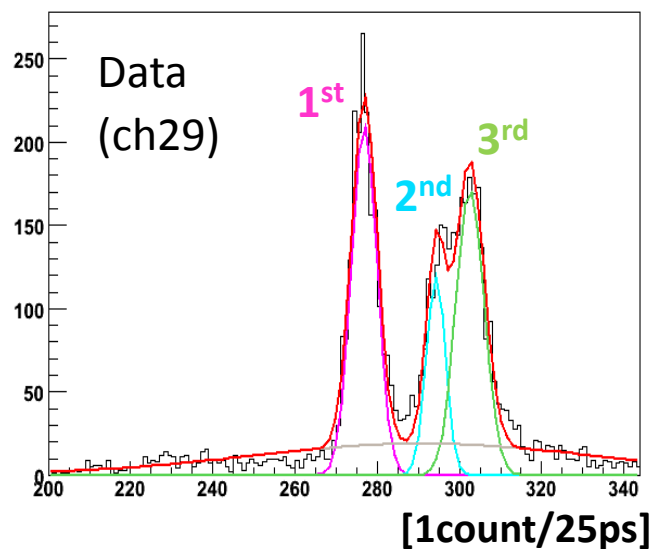




# リングイメージ・検出光子数



- 期待されるリングイメージ・検出光子数を取得



ch.29	Resolution(1 <sup>st</sup> peak)
Data	$76.0 \pm 2.0$ [ps]
Simulation	$77.7 \pm 2.3$ [ps]

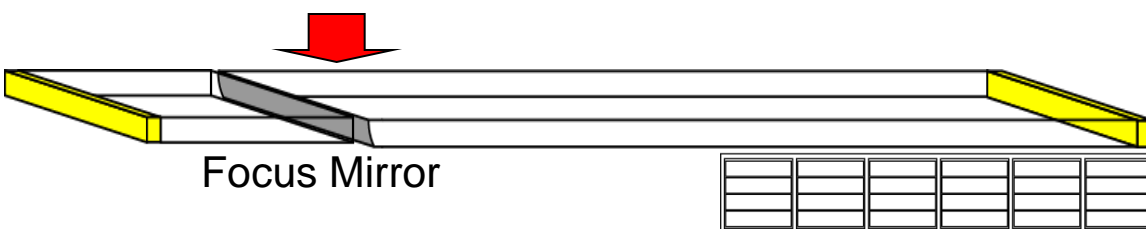
- 期待される時間分解能
- 伝播距離依存性を再現
  - 色分散効果による時間分解能の悪化

- フォーカスマラー導入により色分散を抑制

- 色収差補正のために、チェレンコフ角の波長依存性を利用

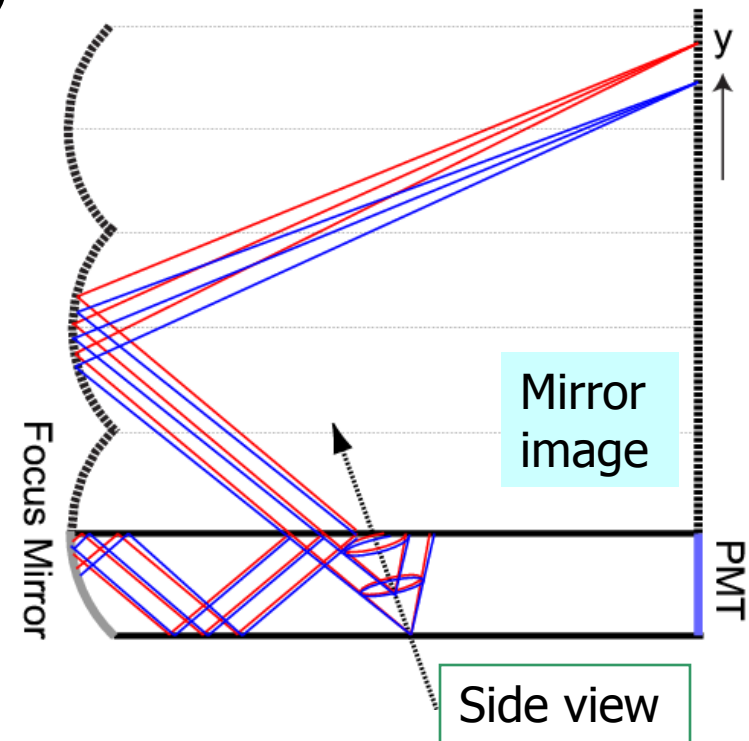
→  $\lambda \leftarrow \theta_c \leftarrow y$ 位置

- 2次元位置と時間の3次元情報を用いたリングイメージの再構成
- 長距離焦点ミラーの導入により、コンパクトな測定器を実現 + 5mmの位置分解能で波長分解が可能



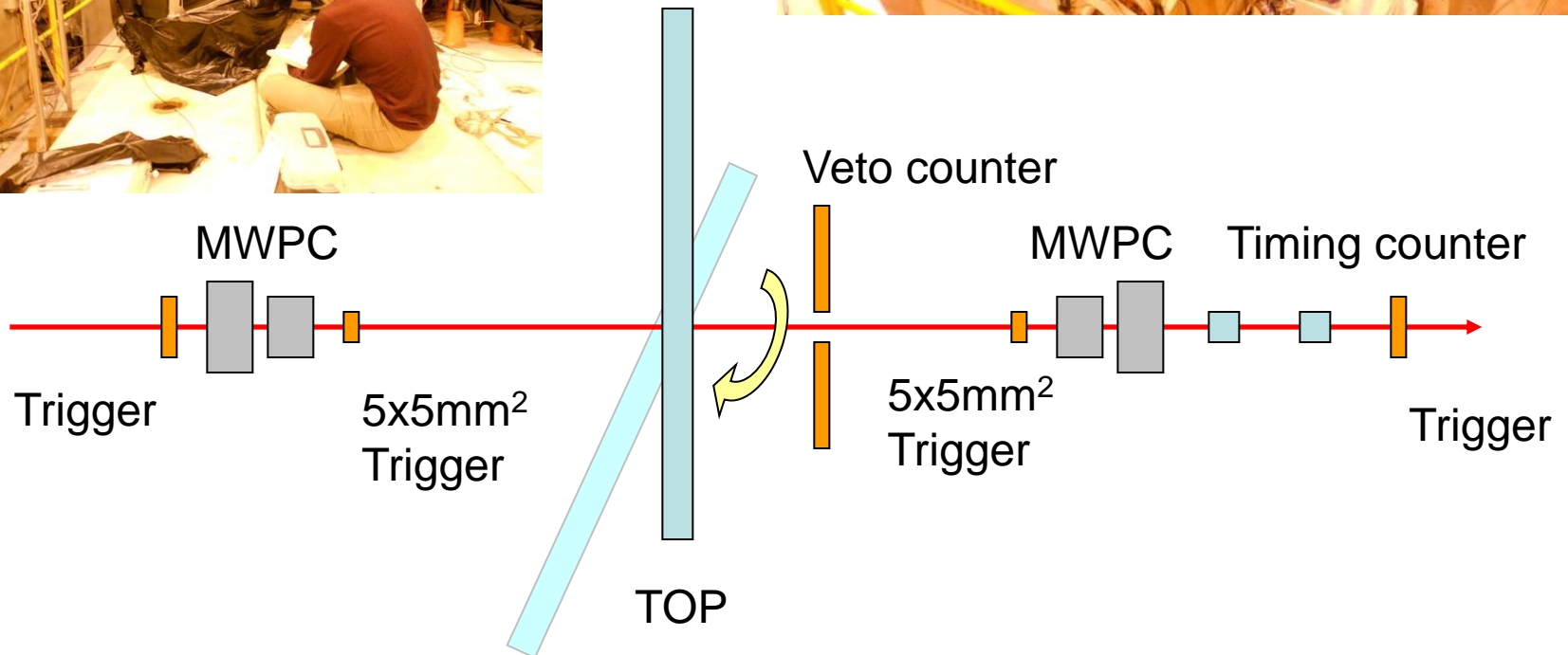
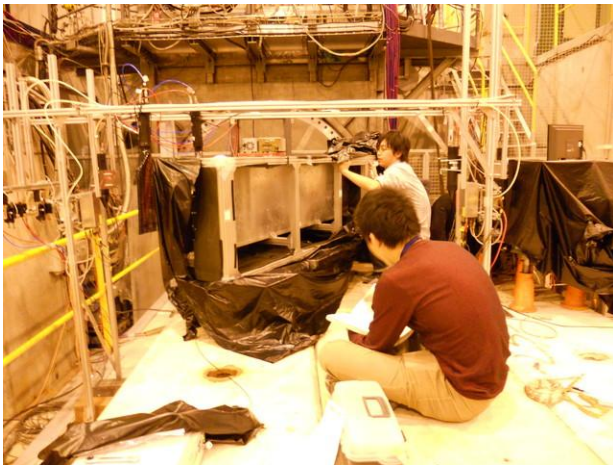
A diagram showing a lens focusing light. A vertical color bar at the top represents the visible spectrum from violet to red. Below it, a lens focuses light rays. The angle of the rays is labeled  $\theta_c(\lambda)$ .

$$\theta_c(\lambda) = \cos^{-1}\left(\frac{1}{n(\lambda)\beta}\right)$$



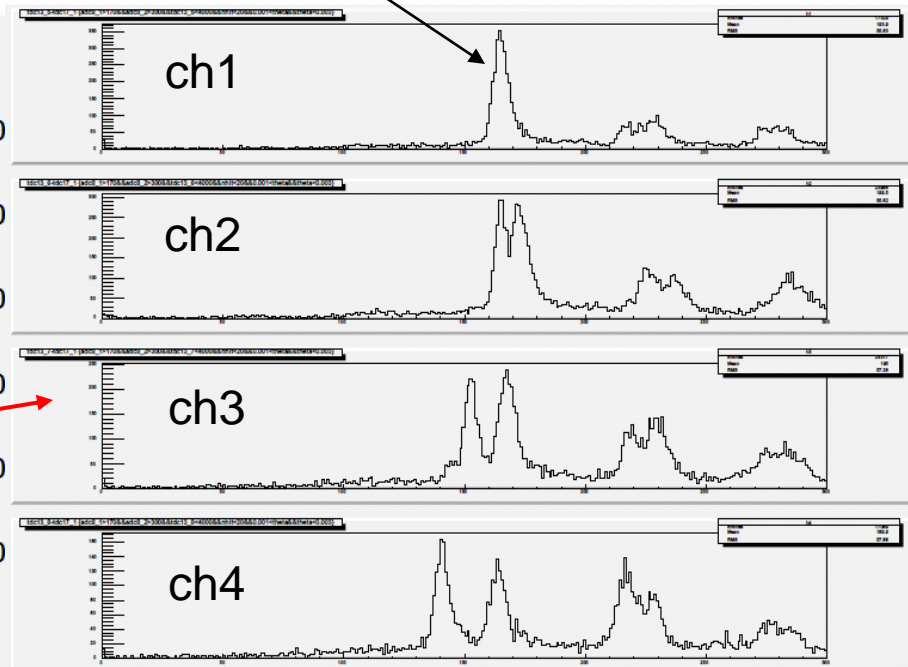
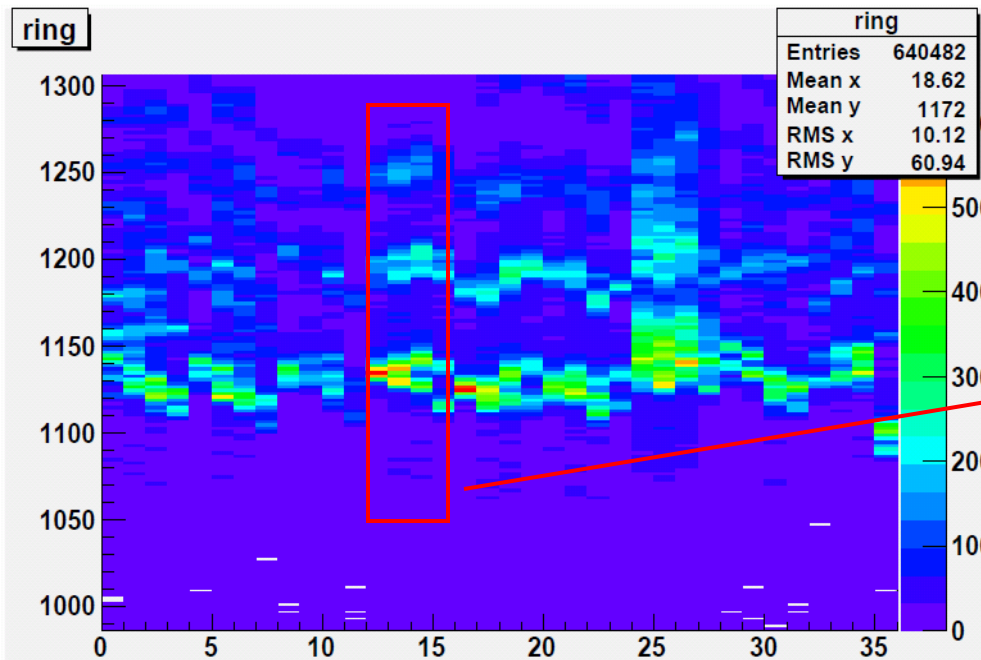
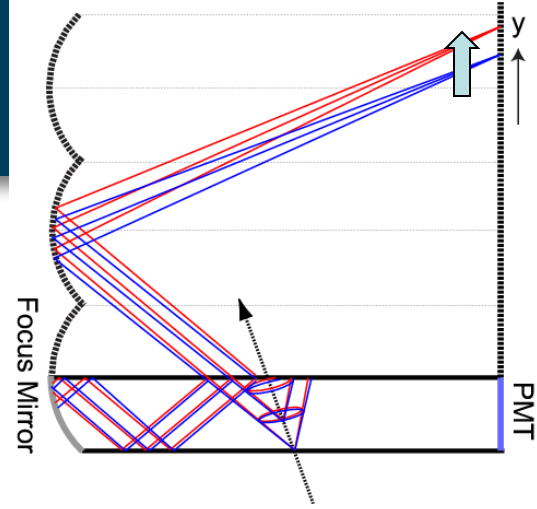
# ビームテスト(2010)

- CERN SPS T4-H6B
  - pion; +120GeV
  - 11月8-15日



# 測定結果

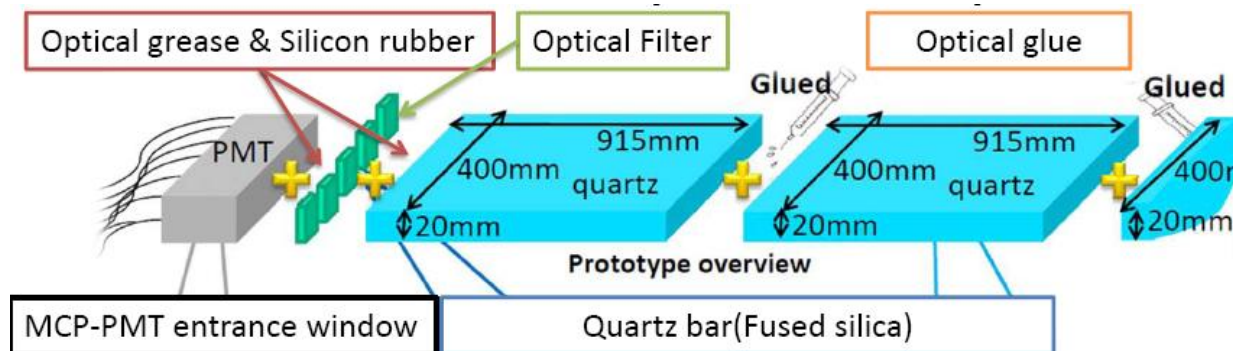
- 角度付き入射( $\cos\theta=0.3$ に対応)
- 期待される振る舞いを持つリングイメージを取得
- **時間分解能の向上を確認** :  $\sim 95\text{ps}$ 
  - シミュレーション:  $\sim 103\text{ps}$
  - 色分解なしでは、2900mmの伝播に対応し、 $\sim 170\text{ps}$ の分解能
  - 詳細な解析は現在進行中



# 実用化に向けた開発研究

- 放射線耐性試験

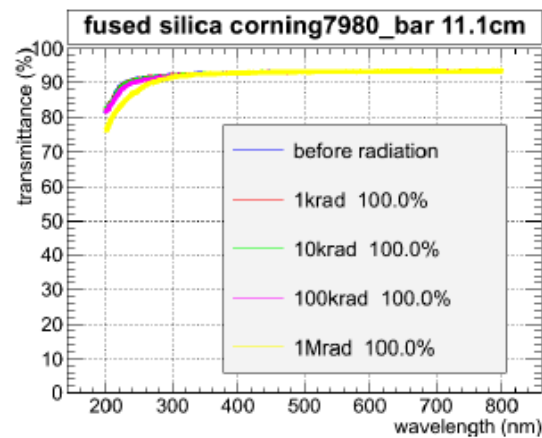
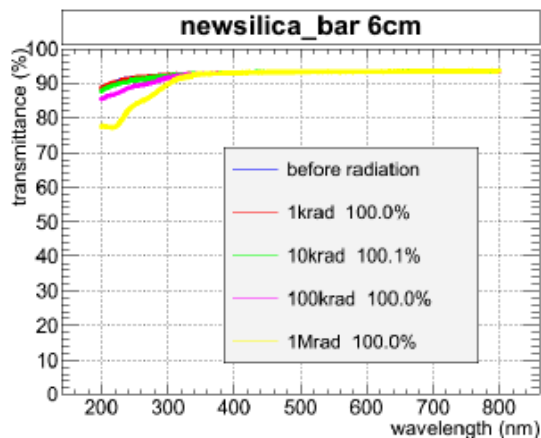
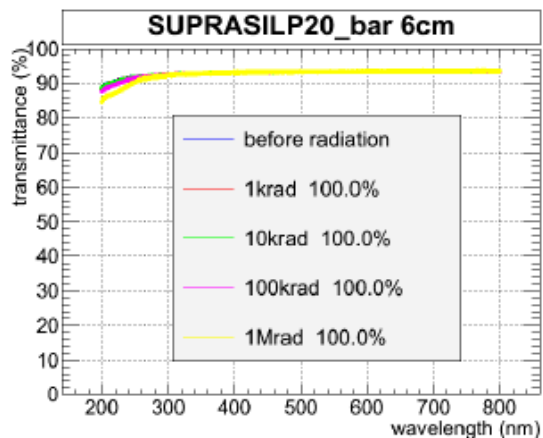
- $\gamma$ 線・中性子線
- 光学素子の透過率、MCP-PMTの量子効率
- $\gamma$ 線1Mrad, 中性子 $10^{12}n/cm^2$ まで問題なし



名古屋大学Co60照射室

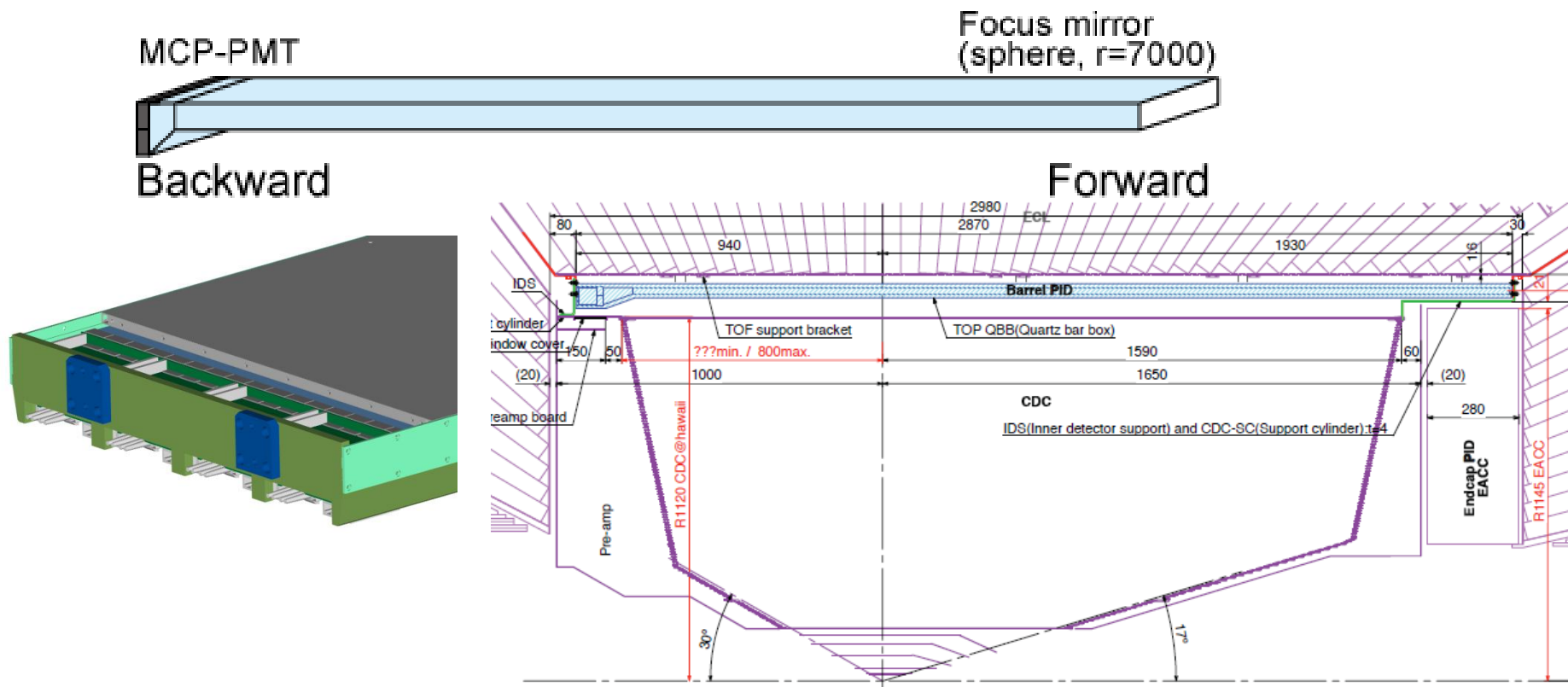


東京大学弥生原子炉



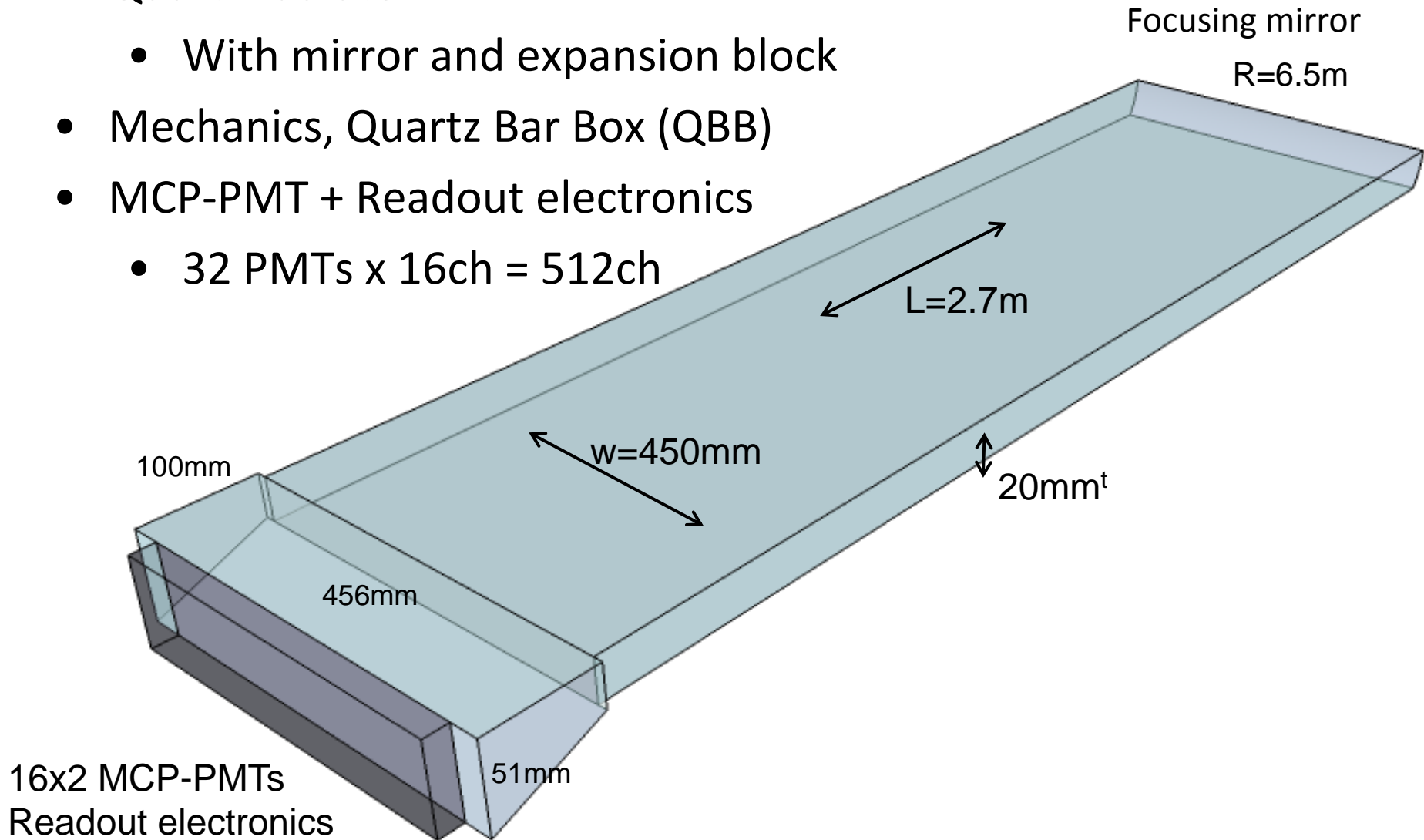
# 実用化に向けた開発研究

- Belle-II搭載に向けた形状最適化・構造体開発
  - ハワイ大学、リュブリアナ研究所等との共同開発研究
  - 物理過程( $B \rightarrow \pi\pi, \rho\gamma$ など)に対する性能比較による測定器形状の選択
  - 設置可能な範囲で測定器形状を最適化
    - 既存のBelle構造体に設置できる支持体のデザイン



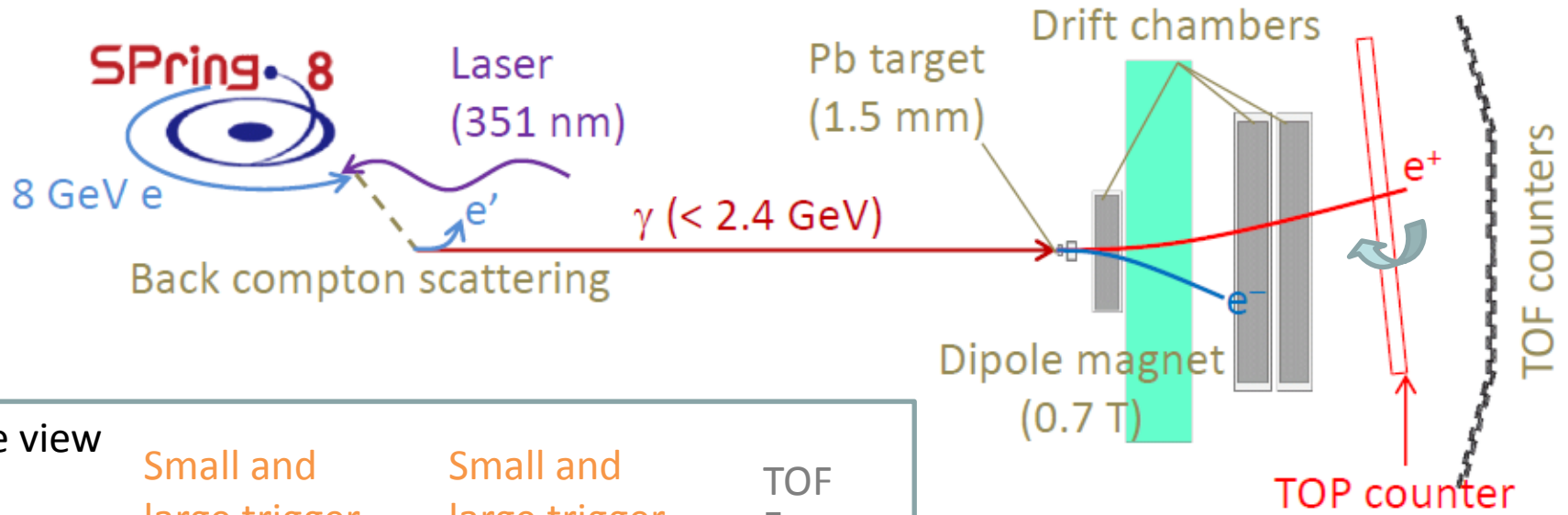
# TOP counter for Belle II

- Quartz radiator
  - With mirror and expansion block
- Mechanics, Quartz Bar Box (QBB)
- MCP-PMT + Readout electronics
  - 32 PMTs x 16ch = 512ch





# Beam test at Spring-8 LEPS



Side view

Small and large trigger

Small and large trigger

TOF

Rate monitor

SciFi tracker x/y

Timing

SciFi tracker x/y

Floor

~140

DC2 DC3

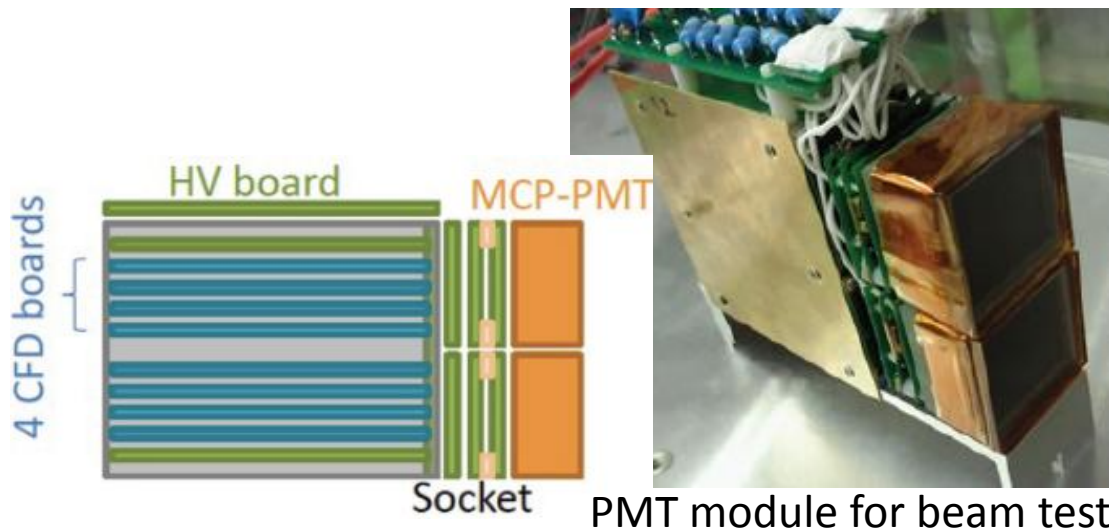
TOP

- Triggered the 2 GeV/c  $e^+$  beam with the four trigger counters (two 40 x 40 mm<sup>2</sup> and two 5 x 5 mm<sup>2</sup>)
- $\gamma$  rate: ~300 kHz
  - Trigger rate: ~10 Hz
  - DAQ rate: ~5 Hz (IRS run)  
~10 Hz (CFD run)

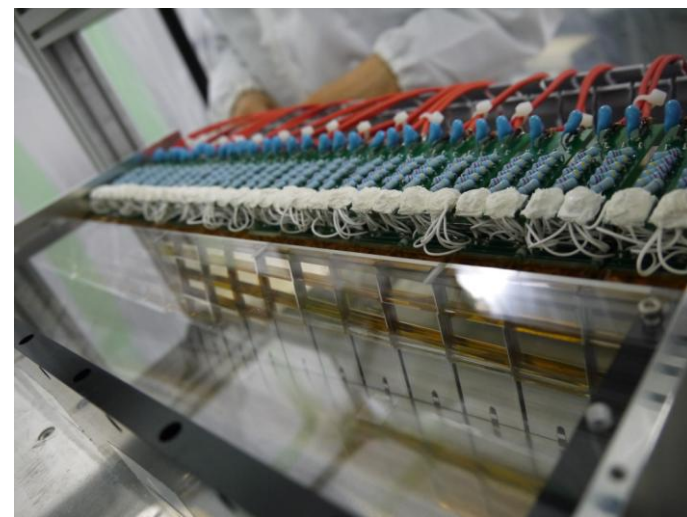
# CFD readout for beam test

- CFD readout
  - Used already at previous beam tests
  - 1x4 readout.
    - 4-channels are combined (128ch/module).
  - Suitable back-up for beam tests.
- Good resolution ( $\sim 40\text{ps}$  for single photon)
  - With MCP-PMT and CAEN VME TDC (V1290A)
  - Confirmed by laser

CFD module prototype

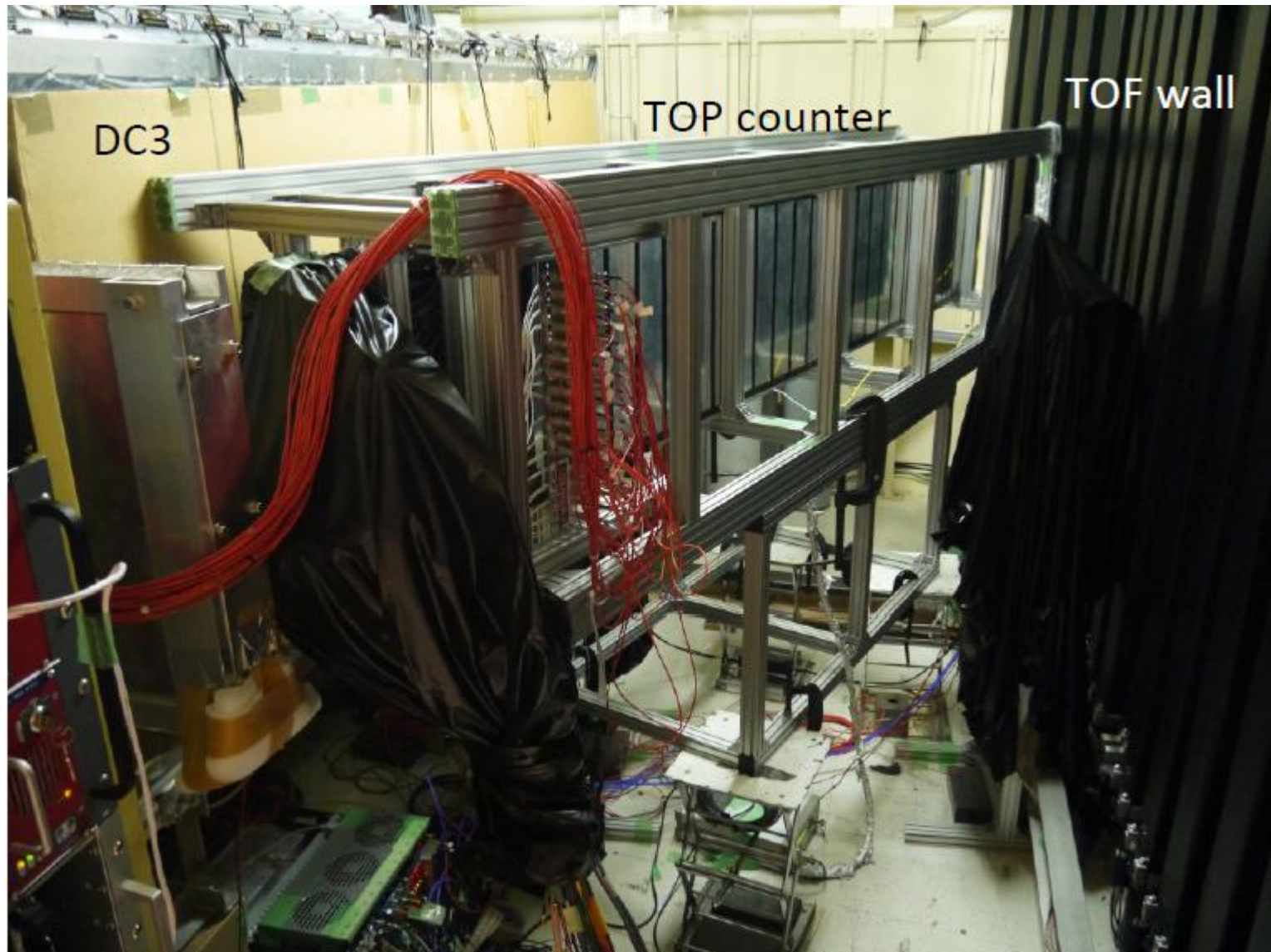


PMT module for beam test



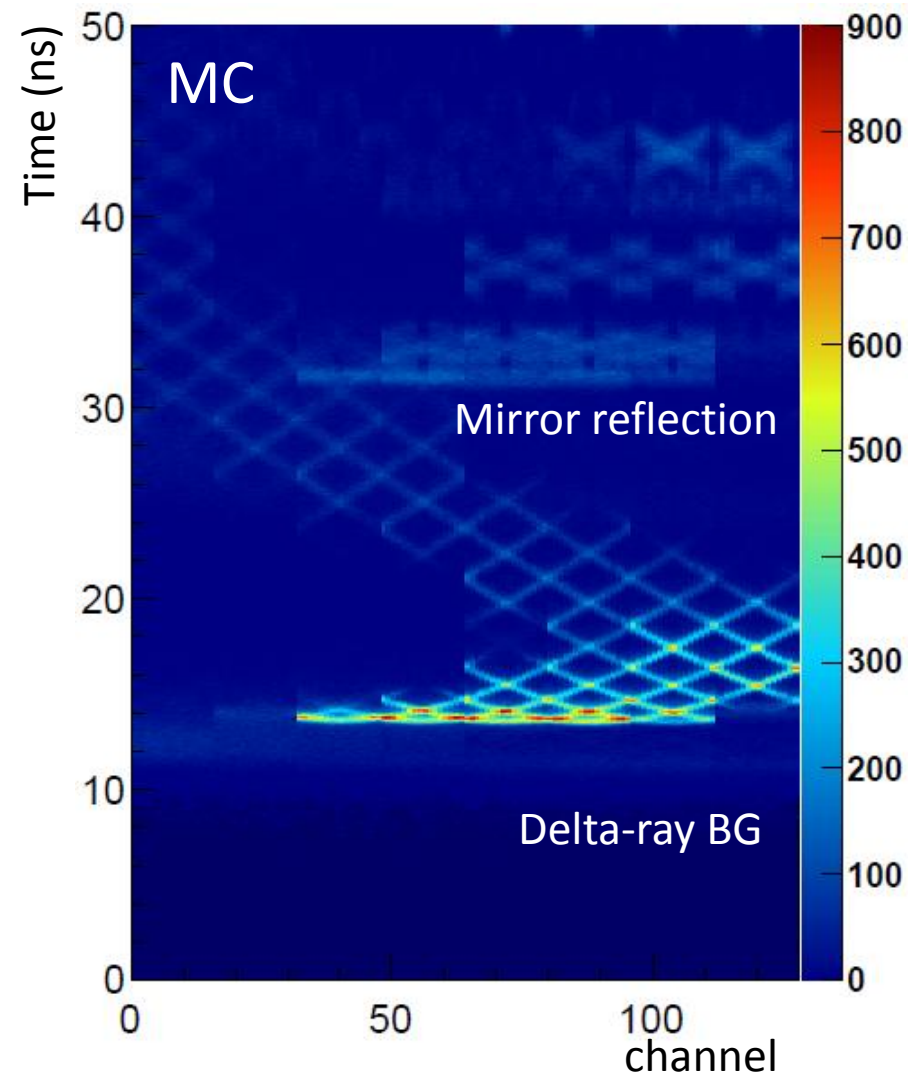
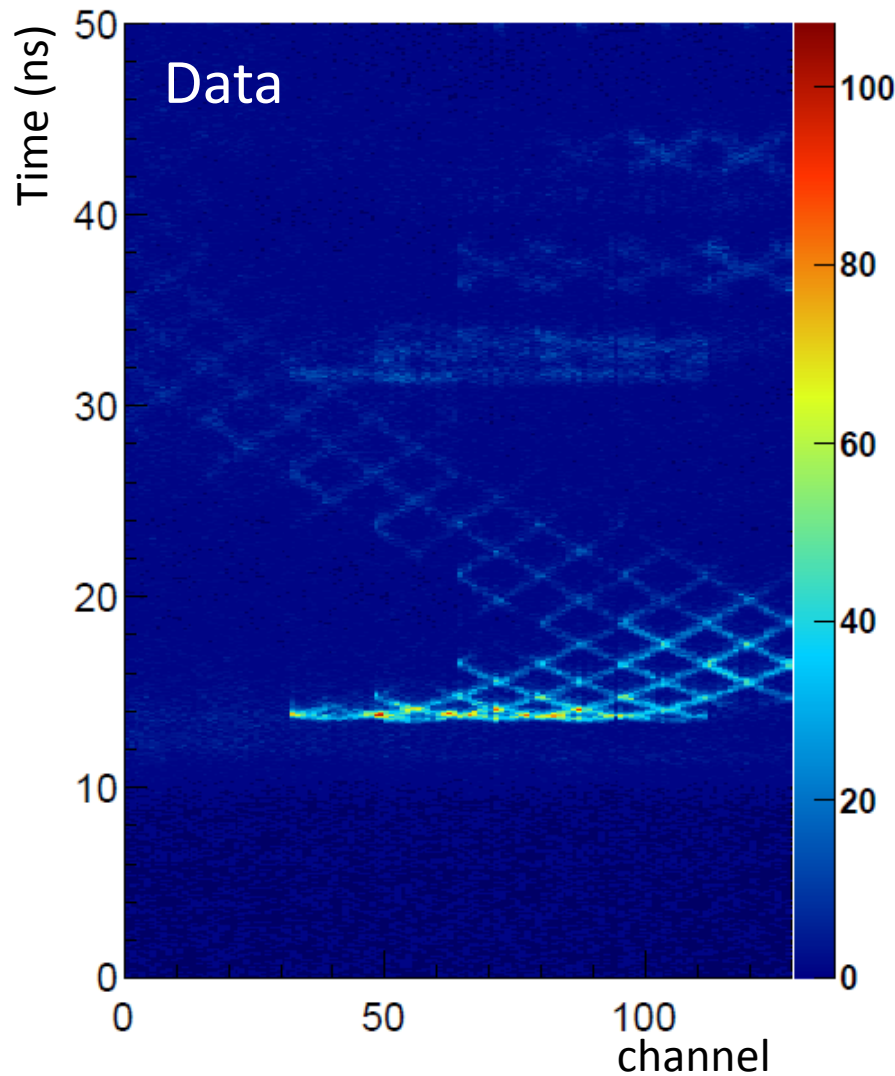
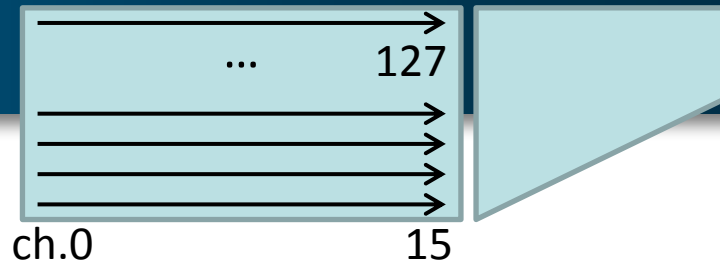
PMT modules mounted

# TOP counter in LEPS beam line



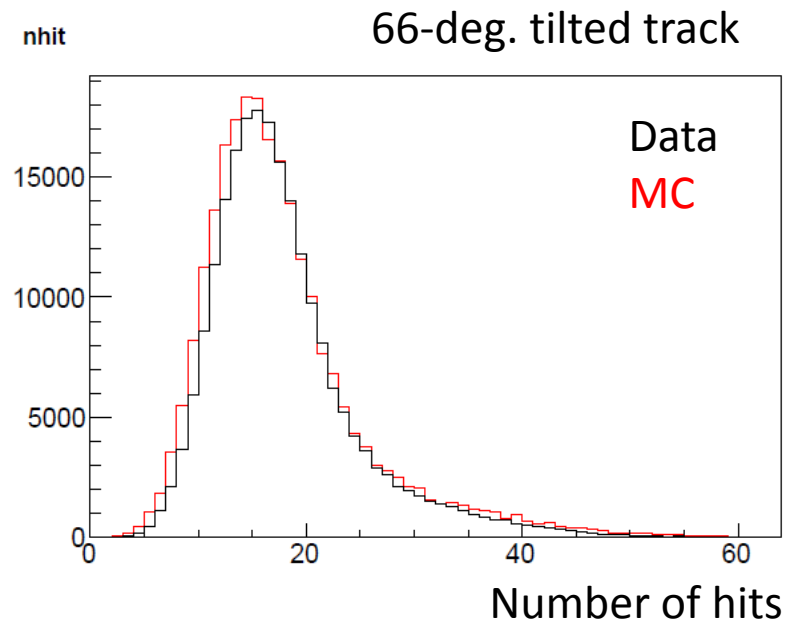
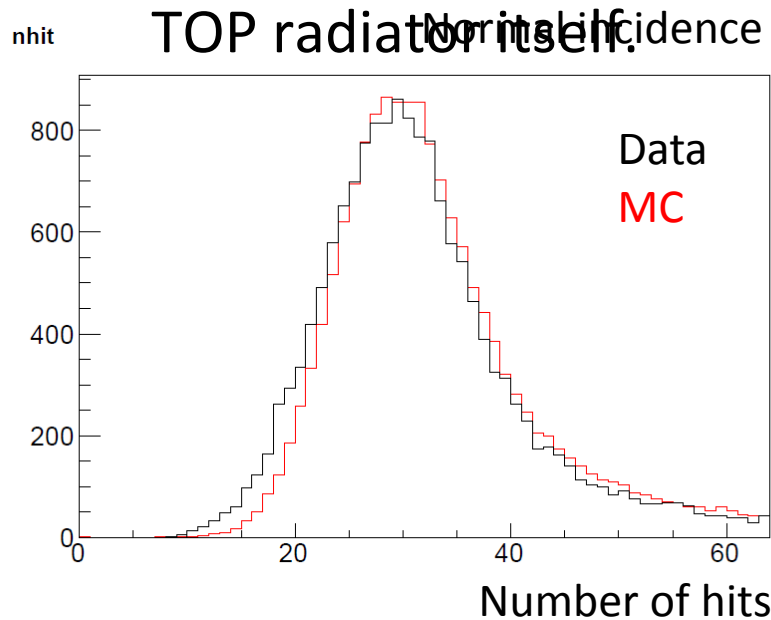
# Ring image

- Normal incidence, CFD readout



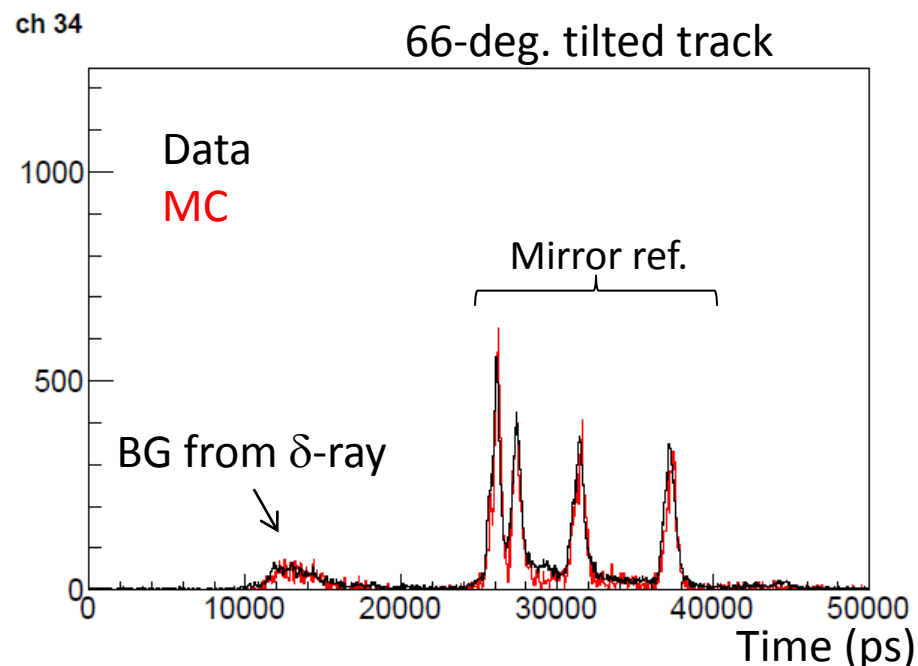
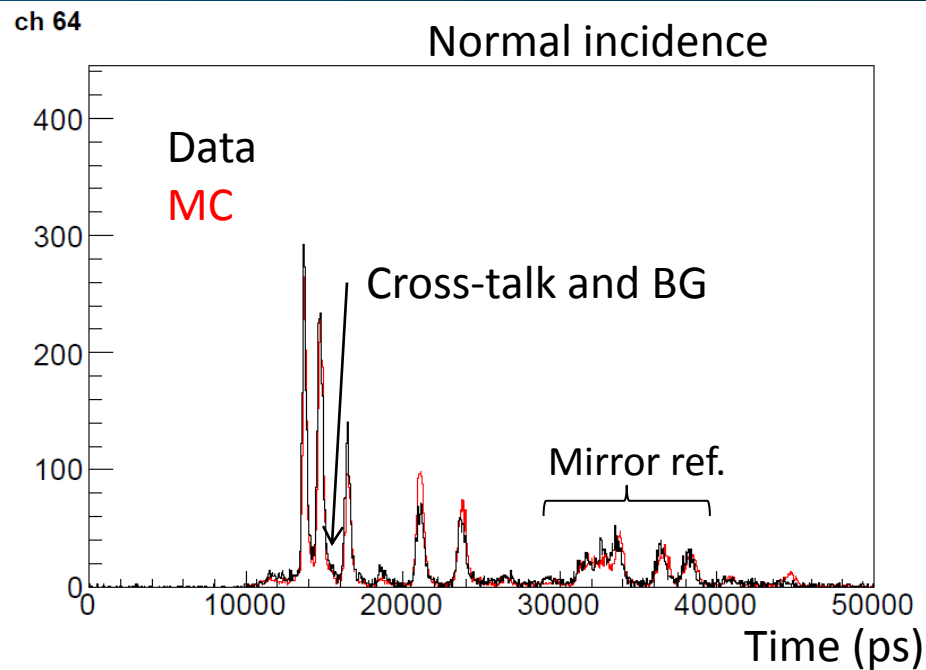
# Number of detected photons per event

- Number of hits was obtained as expected.
  - Peak: 25 hits for normal incidence, 15 hits for tilted track
  - Considering path length, photon acceptance, QE (av. 29% at peak), cross-talk/charge sharing (~13%), etc.
  - Tail component is due to the delta-ray and shower tracks in the front of TOP counter (trigger and Scifi tracker) and TOP radiator itself.



# TDC distribution

- Good agreement between data and MC expectation.
  - Background component (especially for the data before first peak)
    - Due to delta-ray/showering tracks by the electron beam interaction with the material in front of detector.
  - Tail component
    - Reproduced by cross-talk hits and background

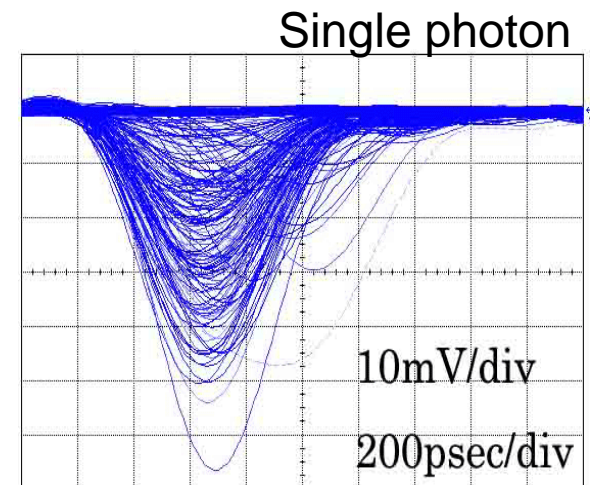
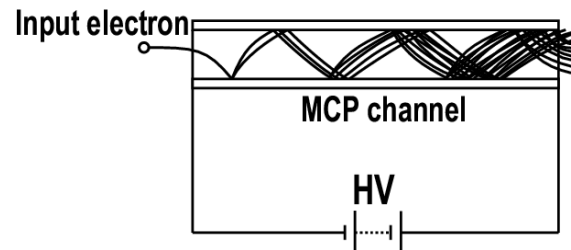
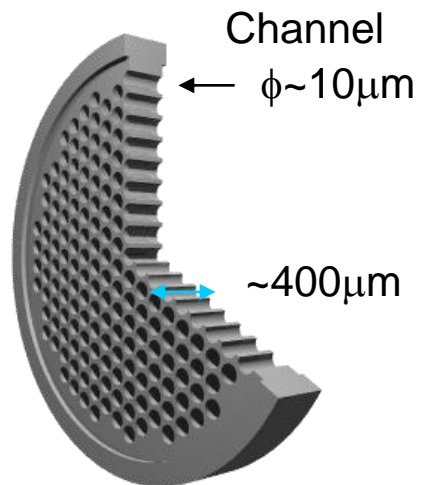
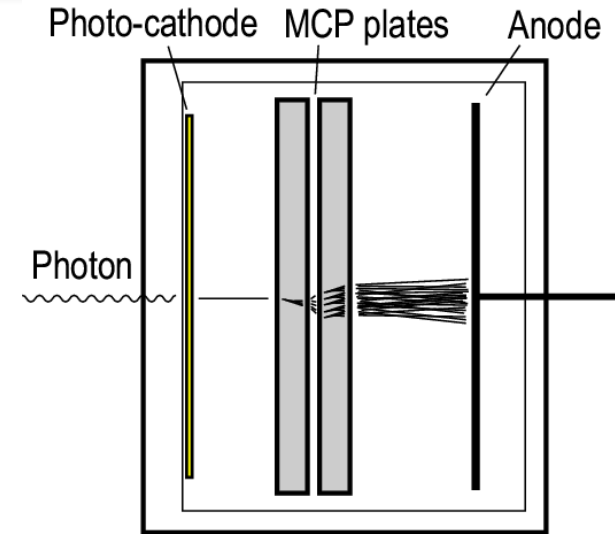


- TOPカウンターの原理的な動作検証と実用化に向けた開発
- MCP-PMT
  - 安定的に良いTTS(<40ps)、十分なゲインが得られることを確認
  - 内部構造の改良により寿命を向上させた
  - Super Bialkali光電面技術の適用
    - 検出光子数の向上、十分な寿命の実現
- プロトタイプの開発・ビームによる性能評価
  - リングイメージ、検出光子数が期待どおり得られた
  - 時間分解能の伝播距離依存性
    - 色分散効果の大きさを検証
  - フォーカシングミラーを用いた光学系で時間分解能が向上することを確認

# Back up

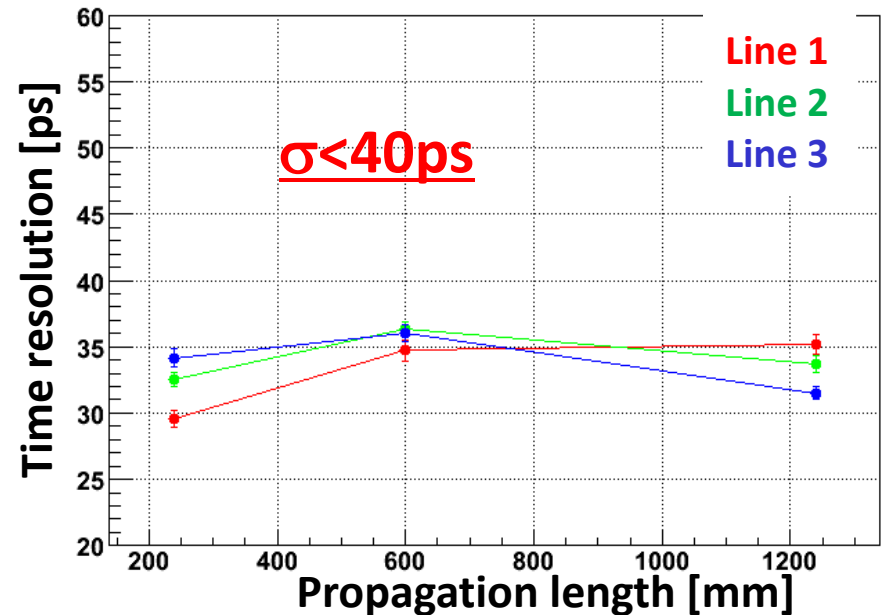
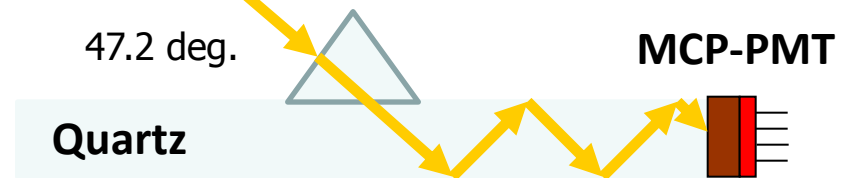
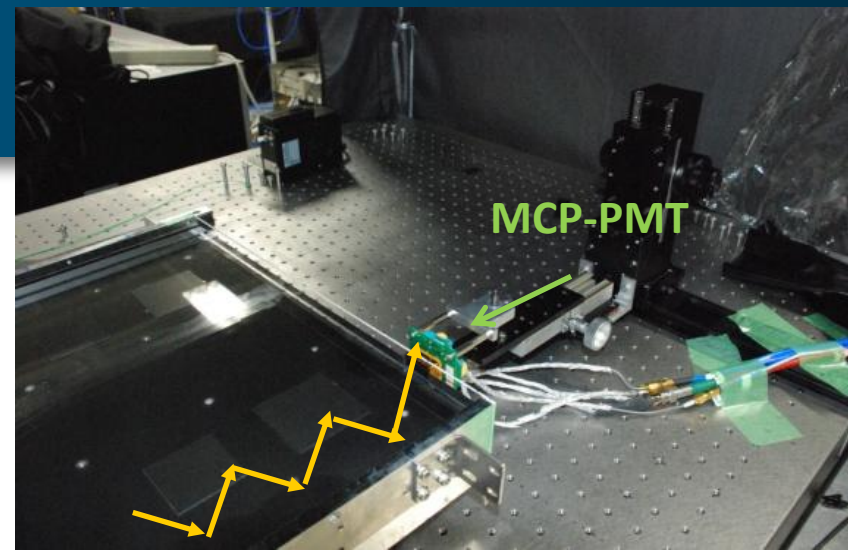
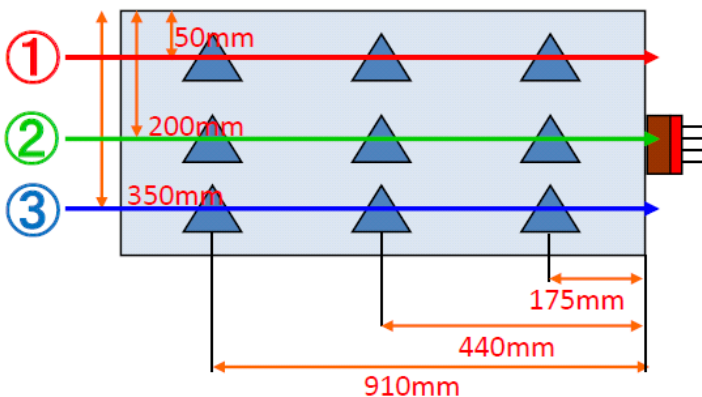


- Micro-Channel-Plate
  - Tiny electron multipliers
    - Diameter  $\sim 10\mu\text{m}$ , length  $\sim 400\mu\text{m}$
  - High gain
    - $\sim 10^6$  for two-stage type
  - Fast time response
    - Pulse raise time  $\sim 500\text{ps}$ , TTS  $< 50\text{ps}$
  - can operate under high magnetic field ( $\sim 1\text{T}$ )



# Quartz radiator

- Made by Okamoto optics
  - Size; 91.5 x 40 x 2 cm<sup>3</sup>
  - Flatness: <1.2μm/m
  - Roughness: <0.5nm
- Check the quality for time resolution
  - Single photon pulse laser
    - $\lambda=407\text{nm}$
  - MCP-PMT
  - Several incident position
- → No degradation of time resolution
  - Enough quartz quality

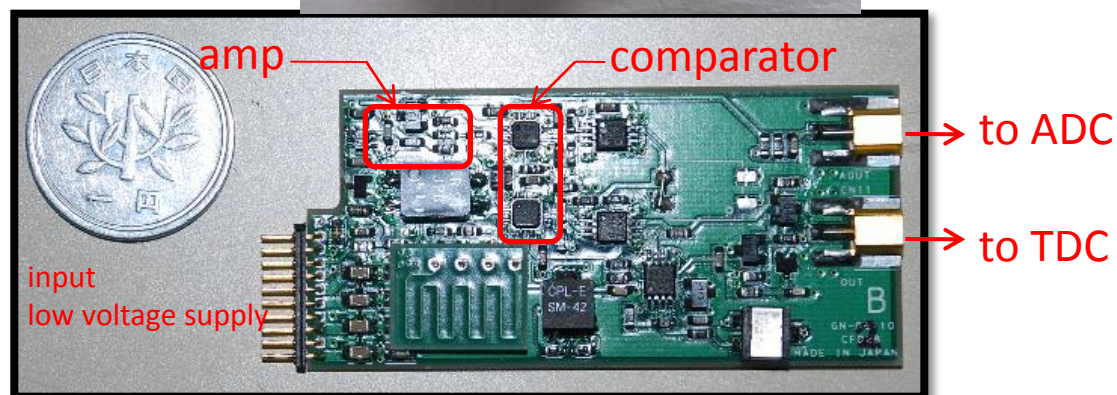
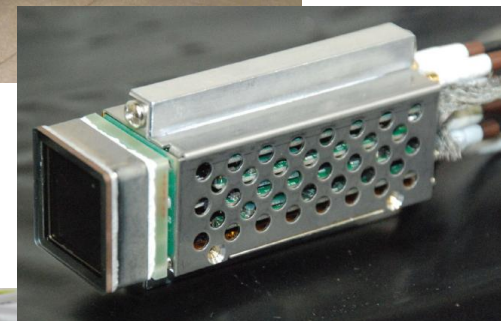


# PMTモジュール

- HV divider + AMP + Discriminator
- 小型 (28mm<sup>W</sup>)
- 試作機
  - 高速アンプ(MMIC, 1GHz, x20)
  - 高速コンパレータ (180ps propagation)
  - CFD with pattern delay

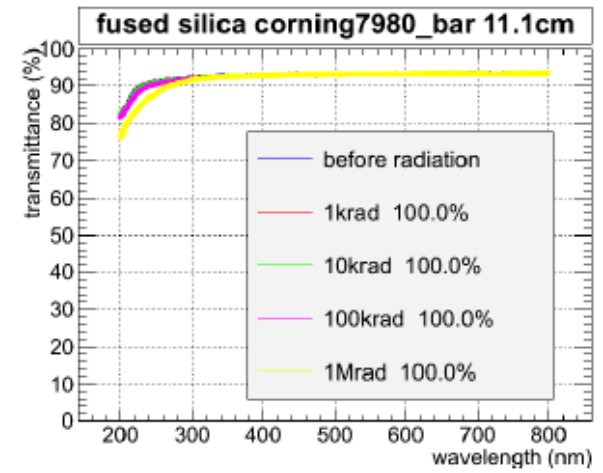
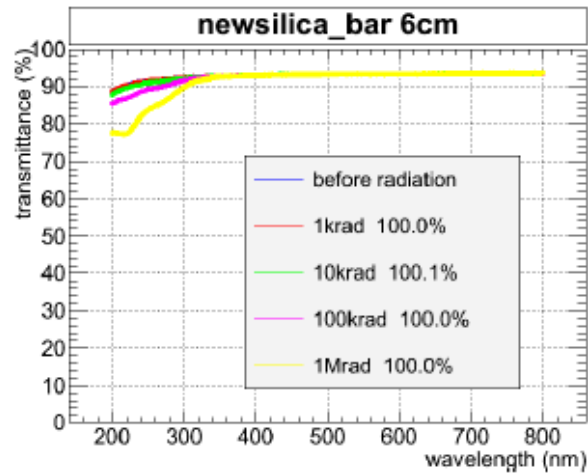
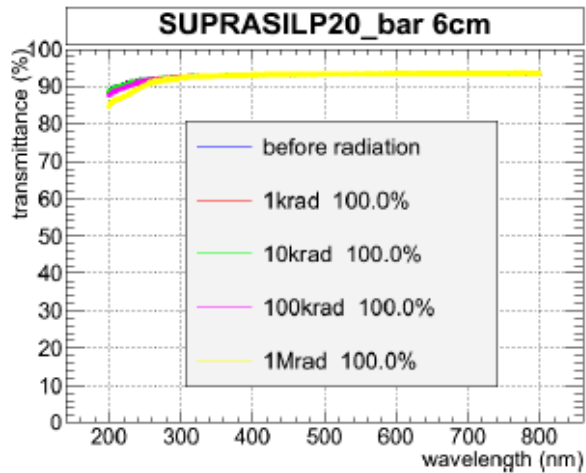
- 性能

- Test pulse
  - ~5ps resolution
- MCP-PMT
  - $\sigma < 40ps$

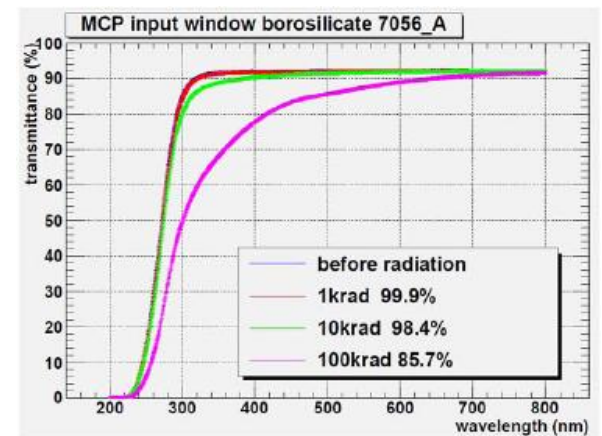
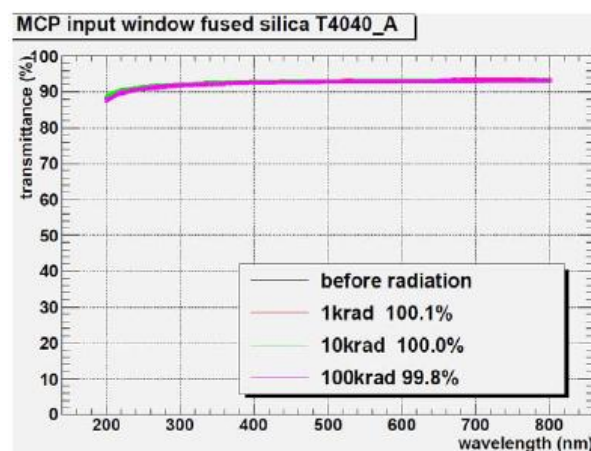
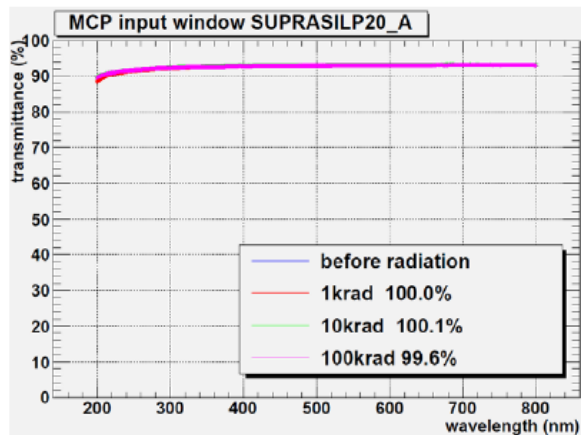


# 放射線照射後の透過率変化

- Quartz

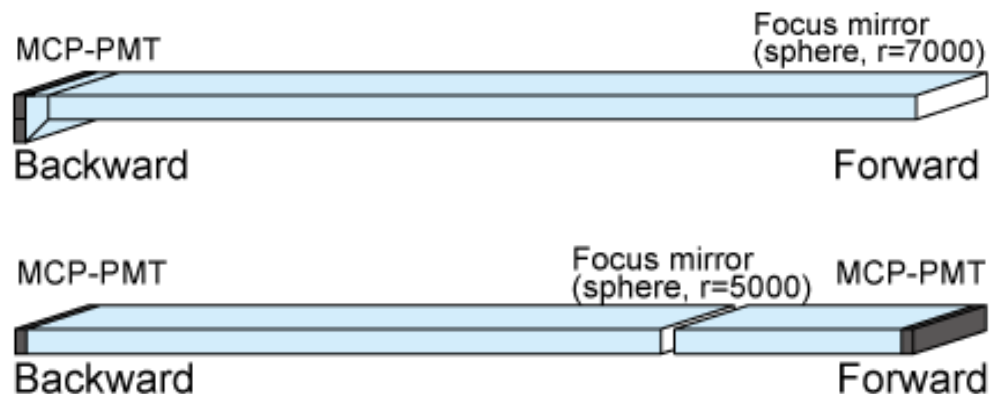


- MCP-PMT window



- Belle-IIで期待される放射線量に対して変化なし

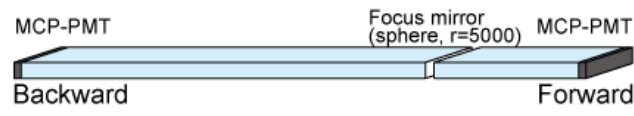
- Two options
  - 1-bar/2-bar configurations
    - Use the similar detector components and technologies.
      - Same quartz radiator size, same MCP-PMT, same mirror shape
  - By simulation studies and prototype operations, we have confirmed the robustness against the timing jitter, tracking resolution, production readiness etc.



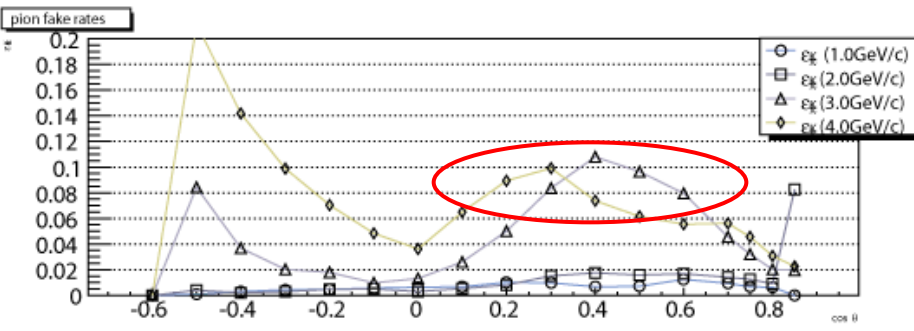
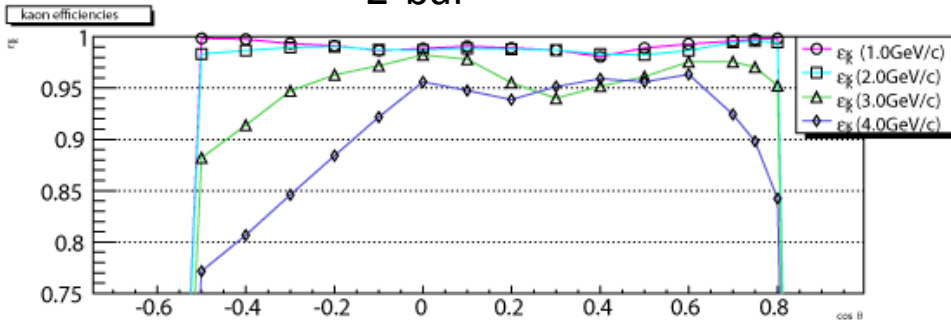
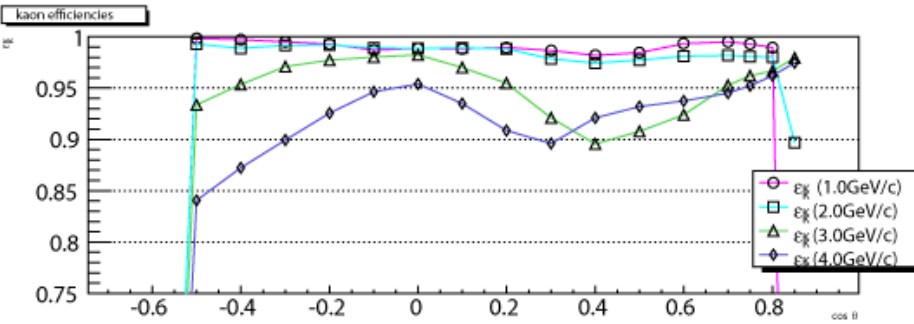
# Performance



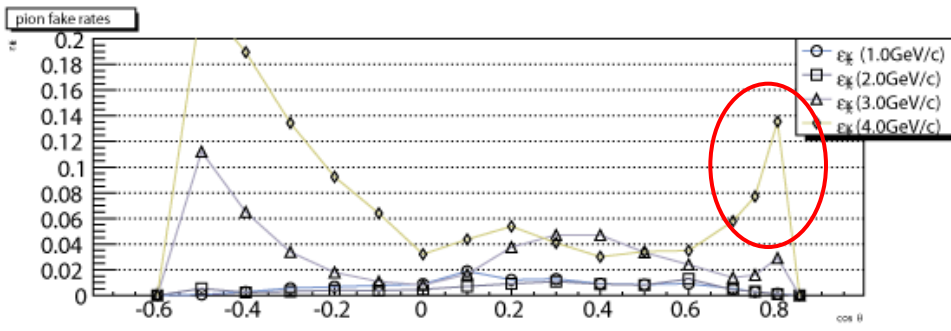
1-bar



2-bar



Incident angle fluctuation (1mrad)



Timing fluctuation (25ps)

Performance similar (weighted) for physics case studies

- For physics cases From TDR
- Check by three simulation program

Table 7.8: Efficiencies and fake rates obtained from simulation for  $B \rightarrow \pi\pi$ , under the set of assumptions described in the text.

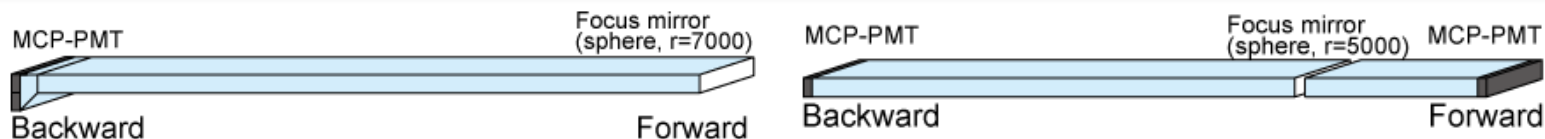
Geometry	Photocathode	$K$ efficiency (%)			$\pi$ fake rate (%)		
		GSIM	Geant4	stand-alone	GSIM	Geant4	stand-alone
2-bar	MA	95.8	97.3	96.2	2.6	2.4	3.7
1-bar	MA	93.4	95.5	96.7	5.2	3.9	3.1
2-bar	SBA	96.7	98.1	97.5	1.4	1.5	2.4
1-bar	SBA	95.4	97.2	98.5	3.3	1.9	1.4

Table 7.9: Efficiencies and fake rates obtained from simulation for  $B \rightarrow \rho\gamma$ , under the set of assumptions described in the text.

Geometry	Photocathode	$K$ efficiency (%)			$\pi$ fake rate (%)		
		GSIM	Geant4	stand-alone	GSIM	Geant4	stand-alone
2-bar	MA	97.4	99.5	99.1	0.9	0.3	0.9
1-bar	MA	96.8	99.1	98.6	1.0	0.5	2.1
2-bar	SBA	97.7	99.8	99.6	0.8	0.1	0.4
1-bar	SBA	97.4	99.6	99.5	0.7	0.1	1.0

Nagoya   Hawaii   Ljubljana

- Chose 1-bar configuration due to practical considerations

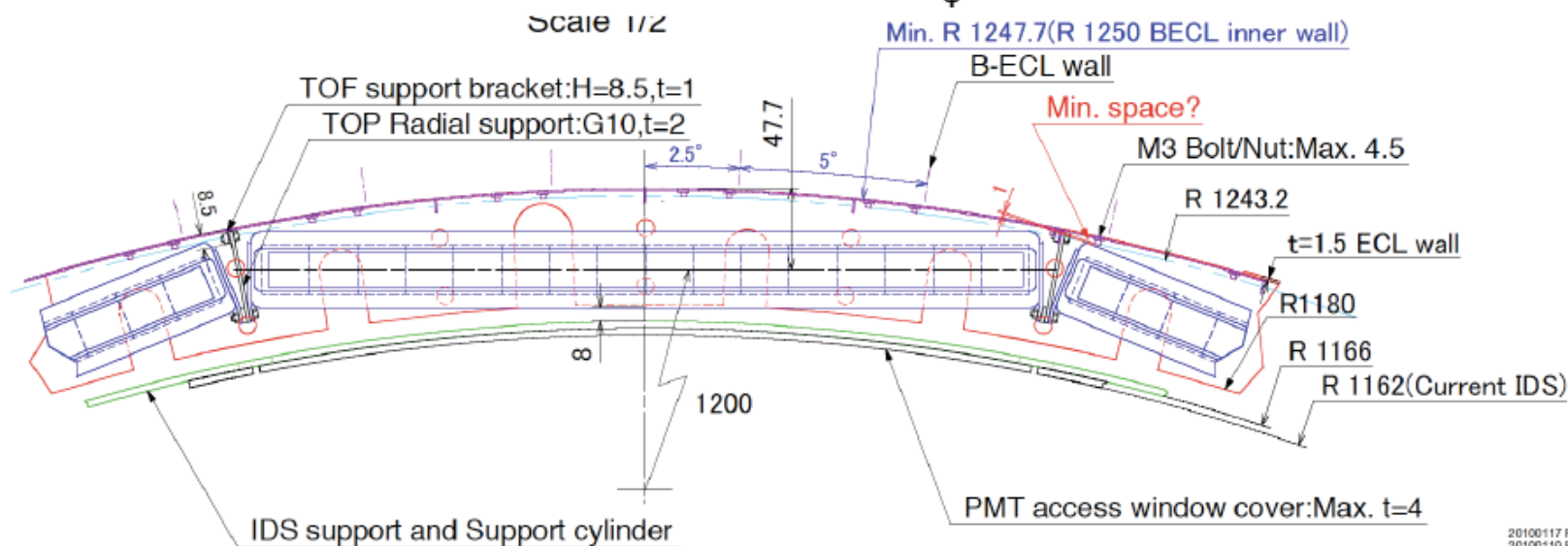
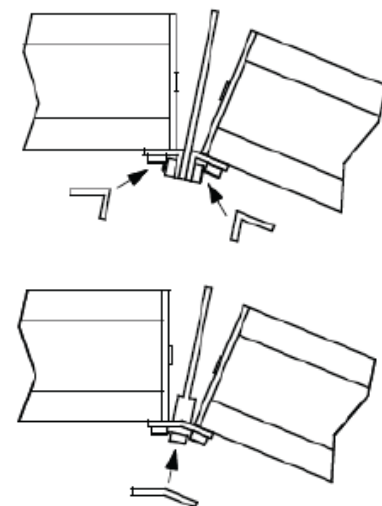


	1-bar	2-bar
Structure / configuration	Needs expansion block	Need forward PMTs + readout Strong bar box (between 2-bars)
TOP-CDC gap	Somewhat larger (~25mm)	Minimum
Acceptance	Larger in forward region (better overlap with endcap PID)	There is a small polar angle gap between the 2-bars
Readout	Backward	At both ends
Construction	Needs test of prototype	2m prototype
Performance	Better in the most forward acceptance	Better for mid-forward polar angles Slightly better overall
Note	Track extrapolation resolution (<2mrad)	<u>Timing determination (&lt;30ps) for forward (Need precise calib. of 25ps)</u>





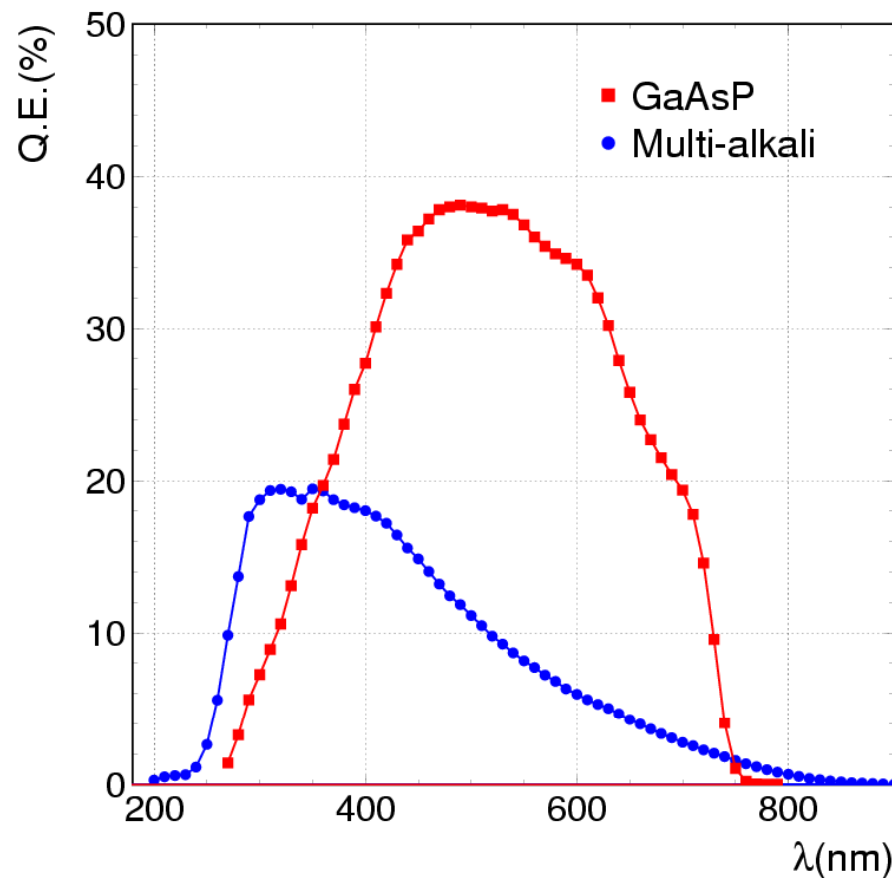
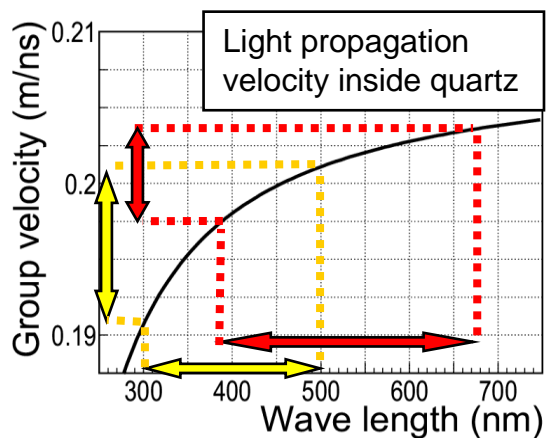
- Maximize the single module performance under the following constraints.
  - Reuse the existing ECL container.
  - Quartz bar dimension
    - W:400 - 500 mm x T:~20 mm
    - 16 azimuthal segments ( $\phi = 22.5$  deg.)
    - Maximize the azimuthal coverage ( $\eta_{\phi} = 95$  %)



# GaAsP MCP-PMT; Q.E. 分布

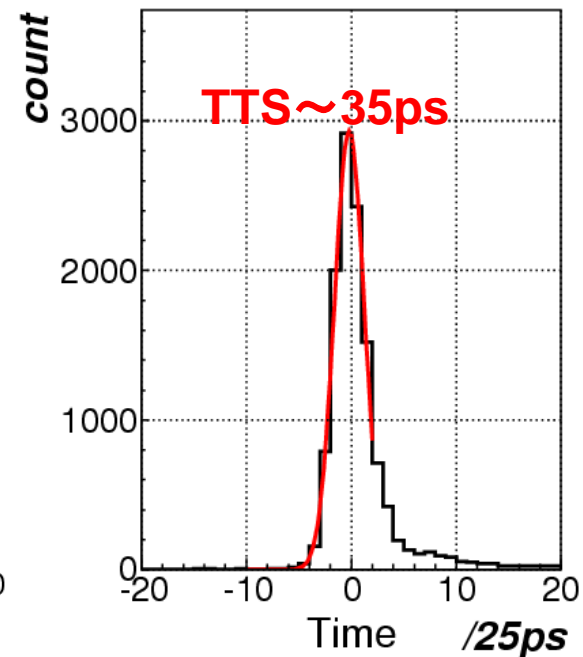
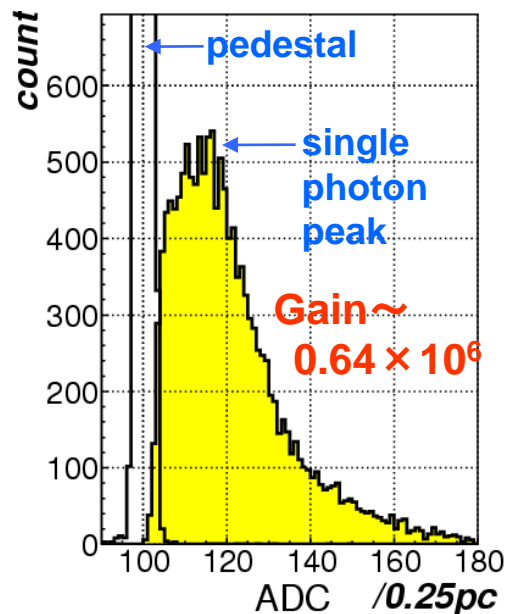
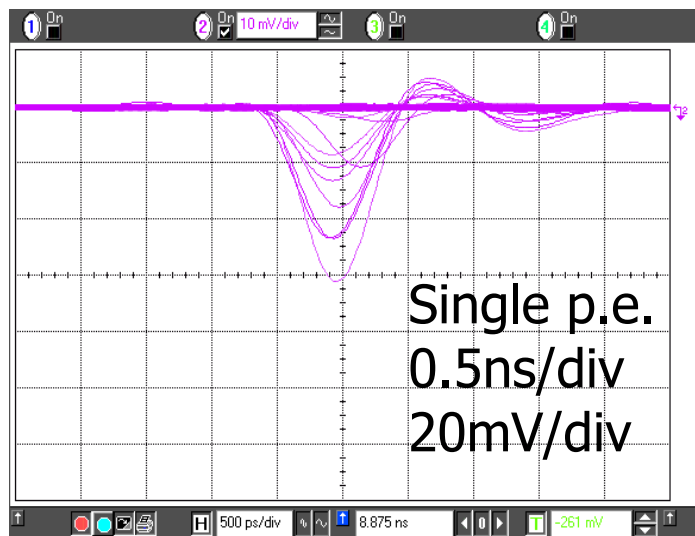


- プロトタイプ
- マルチアルカリ光電面と比較して
- 良い量子効率
  - >35% at 500nm
- 長波長に感度



# GaAsP MCP-PMT 基本性能

- 一光子照射時の出力波形, ADC, TDC分布



- 一光子を検出するために十分なゲイン
- 35psの十分良い時間分解能
- ダークカウント: 数kHz
  - MCP増幅部は正常に動作
  - 光電面の時間分解能に対する影響は少ない